

建築師公會講習會2022/11/24

鋼筋混凝土之結構建材遭火害後之非破壞檢測實務

陳立憲 副教授/北科大 土木與防災所



2022/11/20

人力資源 投產十年

感謝 研發與推廣團隊：博(10) + 碩(11)

博士：陳立憲(北科/土木) (報告)、
陳堯中(台科/營建)、
林俊宏(中山/海工)、
徐國偉(現 微軟; 原 政大/資料科學)、
陳韋志(高雄大學/土木環境)、
劉嵐瑋(桃園土木/結構技師)

碩士：曹祖璟、王榆柔、柯志揚、黃崑塘、楊佳嘉、林欣蓉、
黃仁佑、王力平、陳 煒、曾畊嘉、林心怡

建築研究所/安全防災組：蔡綽芳博士、雷明遠博士、王天志博士

建築師公會/ 陳澤修理事長 與 各位建築師同仁 !!!

古今世遺，東西皆燃；祝融之災，不可小覷！

巴黎地標聖母院(Notre-Dame)如何浴火重生？ 專家建議借鏡聖約翰大教堂
2019/4/15 惡火燒毀 850年歷史的聖母院屋頂及尖塔倒塌。

耗5年修復/2001年紐約聖約翰大教堂(Cathedral of Saint John the Divine)火災
專家：沒法5年內重建聖母院，檢測工程先輕敲石材，聆聽有無受損特有的細微聲音。。。

聖母院與聖約翰大教堂多為石灰岩材，遇火速熱，又遇水速冷，會因岩裂削弱建築結構穩定性，表面也會化成粉末和碎片。為檢修補或更換石材，測試教堂結構工程團隊耗數月逐一檢視教堂磚塊發出的「聲響」。

※ 本團隊研究成果更新速實簡廉：剪-壓波速比；及其有溫度的關懷！

TAIPEI TECH | National Taipei University of Technology

3

學產之薪傳：火害鑑識與安全評估

溯源界研發: 1990 - + 出版至業界應用: 2000 - + ...

建築物火害及災後安全評估法 目錄	
一、火災損害及預防	1
丁育群	
二、國內外火害工程研究簡介	41
陳舜田	
三、各國火害後混凝土結構物安全評估程序介紹	
沈得勝、陳舜田、沈連發	55
四、高溫造成混凝土材料性質改變及火場溫度推估法	
沈得勝、陳舜田	85
五、火害後鋼筋混凝土梁之剪力強度	
林英俊、陳舜田、林慶榮	117
六、火害後鋼筋之握著特性	
許崇堯、林英俊、陳舜田	137
七、火害後鋼筋混凝土柱構件之力學行為	
陳舜田、林建堂	153
八、火害後鋼筋混凝土梁之延性	
陳舜田、蔡東宏	173
九、火害後鋼筋混凝土構造之適用安全評估方法	
黃世建、廖治發、陳舜田、沈進發	185

TAIPEI TECH | National Taipei University of Technology

4

火災層出不窮：泛RC、老舊建物

地上 建築、房屋
交通、建設

1 2 3 4

地中 邊坡、地錨、
基礎擋土結構

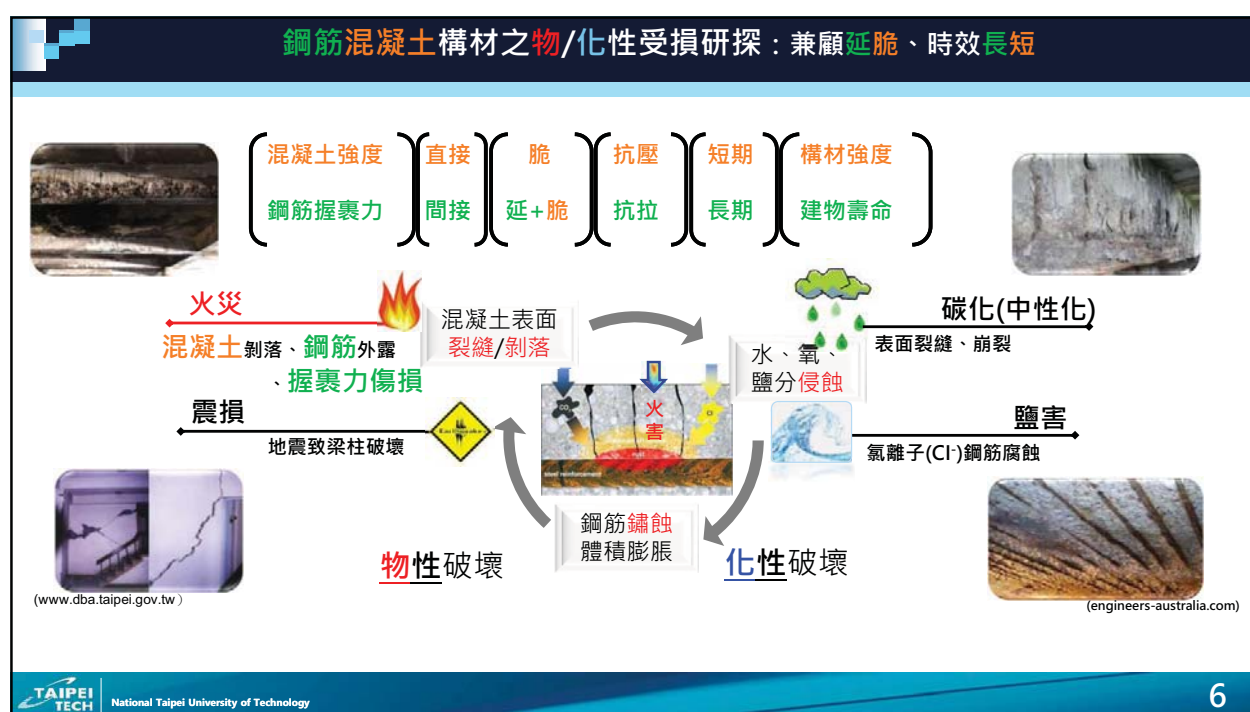
地下 一次襯砌(噴凝土-鋼網)
二次襯砌(混凝土)

5 6 7

1. 北市公寓 (自由時報, 2018/09)
2. 桃園工廠 (團隊外業, 2019/04)
3. 電線走火 (TVBS新聞, 2011/12)
4. 電器自燃 (東森新聞, 2017/05)
5. 國道邊坡 (自由時報, 2018/02)
6. 八卦山隧道 (鏡周刊, 2018/06)
7. 雪山隧道 (蘋果日報, 2012/05)

5

TAIPEI TECH | National Taipei University of Technology



災害統計 – 地風水火、天災人禍

火災

人(傷、亡)

	人數	死亡	受傷
火災^[1]	1498	3551	
震災^[2]	141	1096	
水/風災	71	2428	

災害-天災人禍

第一保全對象：**人**
第二保全對象：**財產**
第三保全對象：**國土**

震災

水/風災

918 地震(NOWnews, 2022) 88水災(自由時報, 2009)

101~110年 - 傷、亡統計表

100~108年 - 建築損失統計

財產(質、量)
(不動產)
(隱性；持續性)

蠹食>>鯨吞
(顯性；一次性)

R=H*V
損害風險=危險×脆弱度
(量) (值)

全倒/半倒(戶數) 736/1136

火災!! 次數>戶數
對生命安全**與**建築的嚴重性** > 地震與颱風**

TAIPEI TECH [1]內政部消防署, 2022; [2]中華民國統計資訊網

7

建物老/劣化案例多-引致火災機率增

海砂屋

危老建築

來源：鏡週刊

資料來源：內政部不動產資訊平台-房屋稅籍住宅類數量、吉家網不動產

城市	住宅數量 (萬戶)	平均屋齡 (年)	屋齡30年占比
台北市	90.1	36.2	71.2%
新北市	166.5	29.9	46.7%
桃園市	87.6	26.6	34.4%
台中市	107.3	28.7	39.8%
臺南市	71.5	33.2	50.7%
高雄市	109.3	31.9	51.6%
全台總計	896.5	31.0	50.1%

TAIPEI TECH | National Taipei University of Technology

8

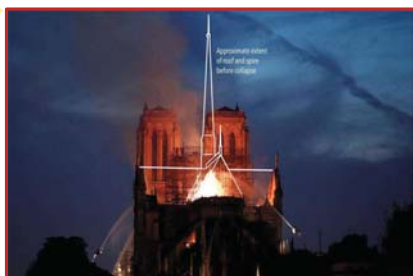
國際火災案例

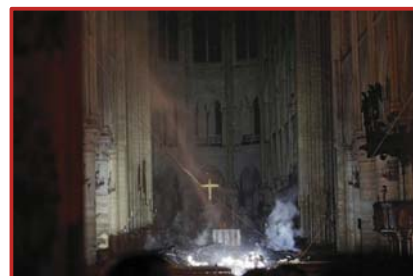
天災-智利復活節島





人禍-巴黎聖母院





TAIPEI
TECH | National Taipei University of Technology
來源：復節島大火yahoo(2022)、聖母院大火,Line Today(2019)
◀ 9

習見建物判識技術之盤點與痛點

火損調查

階段1：消防火調

- 1. 起火原因
- 2. 火流方向

階段2：結構鑑定

- 1. 單壓試驗求抗壓強度 (f'_c)
- 2. 燒失量推估最高溫度 (T_{max})
- 3. 中性化深度 (d_c)

 單壓試驗
 燒失量

燒失量
習見判識技術

申請單位：新北市政府某機關
C型鋼扭曲情形

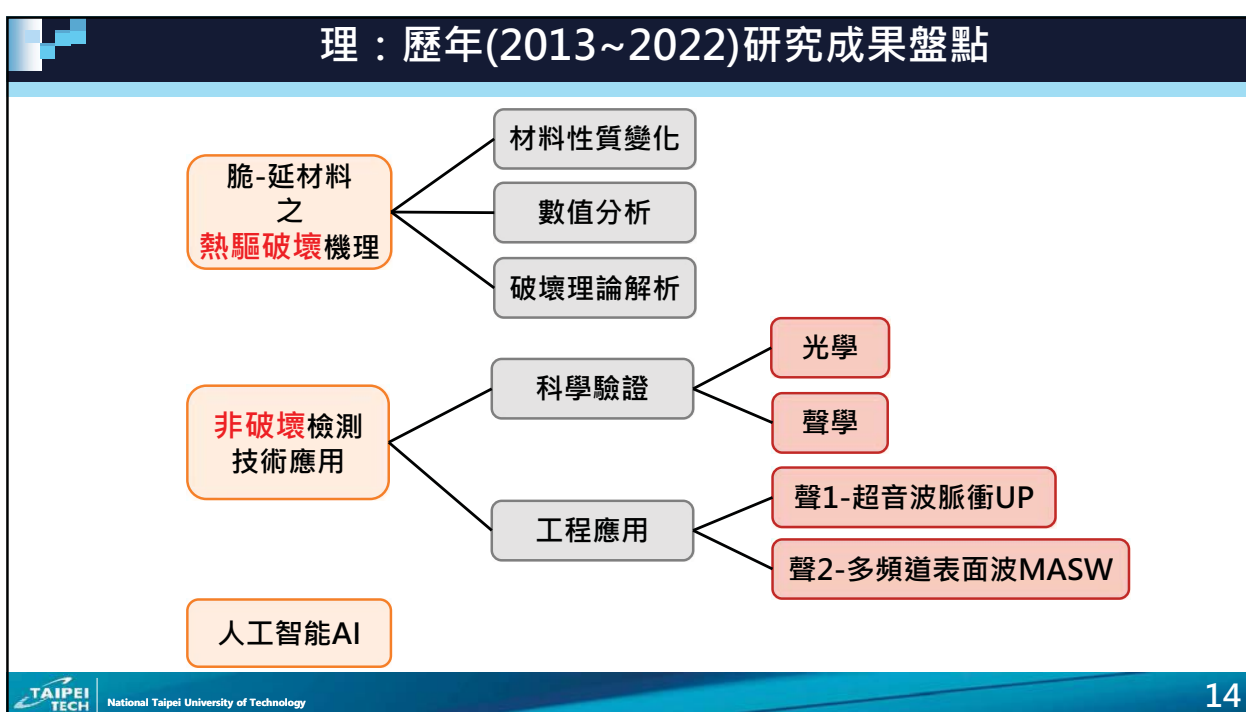
火災日期：105年
推估溫度： $T_{max} = 175^{\circ}\text{C}$ · 與案場其他跡證不符

調查場址：新北市貢寮區

火損調查檢討

- 1. 階段1-因：火調階段多為定性
- 2. 階段2-果：雖為定量但火損低估
- 3. 創新技術定量評估傷損指標
- 4. 後續補強之驗效

TAIPEI
TECH | National
 f'_c : 抗壓強度 (kN/cm^2) T_{max} : 最高溫度 ($^{\circ}\text{C}$) d_c : 中性化深度 (cm)
10



例：歷年(2013~2022)研究成果盤點

實驗室
案場

火16、震害3 桥2、隧1

內 8
外 13
老 1
劣 20
物 19
化 2
行 3
住 18

= 總量21, 2013年~迄今

冷縫
鹽害
(橋墩保護層脫落)

冷縫(kknews, 2018)

*冷縫亦屬耐震標章品控要求

TAIPEI TECH | National Taipei University of Technology

15

研究成果

編號	項目	年份	作者
1	有限元素法研析擬脆材料受熱驅破壞之熱-固耦合	2013	施佩文
2	連續熱損顆粒材之破裂韌度與拉力強度及齊聲、光破壞演化	2013	張育誠
3	擬脆性固材於熱驅破壞之準靜、動態力學行為	2015	劉峻瑋*
4	應用「聲-光」非破壞檢測於無機聚合基質材料受液驅破壞之巨、微觀力學特徵	2015	王榆柔
5	土、建工程之脆延性固材於熱力-固力耦合下之巨-微觀破壞特徵及火害度判識	2015	曹祖璟
6	結合聲-光非破壞檢測於隧道環境遭熱驅破壞之傷損判識	2016	柯志揚
7	以聲-光非破壞檢測判識隧道襯砌受熱-固傷損之力學行為	2017	黃崑瑭
8	以導波技術檢測鋼筋混凝土握裹介面傷損之初探	2018	楊佳嘉
9	複合式超音波脈衝與多頻道導波法於鋼筋混凝土構材之火災鑑識及其延-脆介面之握裹介面傷損評估	2020	黃仁佑
10	以超音波脈衝與導波技術檢測鋼筋混凝土之火害受損程度與握裹介面傷損	2020	王力平
11	水泥基質材料的剪-壓波速特徵及其人工智能分析於火場熱源調查與構材傷損判識 -地上建築與地下隧道為例	2020	陳煜
12	應用體-表耦合波傳技術於熱驅破壞與材料傷損之鑑識-老/劣化水泥基質材料和風化砂岩為例	2021	曾畊嘉

註：*為博士生

TAIPEI TECH | National Taipei University of Technology

16

歷年研究之理論

類型	編號	項目	路徑連結
脆-延材料之 破壞機理	材料性質	1 水泥砂漿熱學性質	
		2 「脆性」材料受熱後力學性質	
		3 「脆-延」材料受高溫後之材料性質變化	
	數值分析 熱-固 破壞理論解析	4 ABAQUS熱傳導與應力分析之運算邏輯	
		5 彈/塑性理論解析	
		6 熱傳導理論	
		7 單向度熱傳導理論	
		8 固材之破壞理論	
		9 熱力驅動破壞之沿革	
		10 「熱力-固力」驅動破壞理論	
		11 鋼筋混凝土傷損機制	

歷年研究之理論

類型	編號	項目	路徑連結
非破壞檢測 技術應用	科學 驗證	光學 12 電子斑紋干涉技術	
		聲學 13 聲射技術之沿革與應用	
		波傳 原理 14 基本波傳理論	
		15 彈性應力波傳理論	
	工程 應用	聲1 16 超音波脈衝量測技術	
		17 超音波脈衝量測應用	
		18 表面波震測法	
		19 表面波及其頻散現象	
		20 導波量測技術於鋼筋混凝土的應用	
		21 導波應用於鋼筋握裹狀況評估	
	人工智能AI	22 線性回歸(Linear Regression)	
		23 支援向量機(SMOreg)	
		24 類神經網絡(Multilayer Perceptron)	
		25 決策樹(M5P)	

歷年研究實績

編號	項目	年份	結構體	老劣化傷損型態		檔案路徑
				老化(A)/劣化(D)	物/化性	
1	台北市大安區民宅火調	2018	建築	D	物	
2	臺南市隧道火調	2019	隧道	D	物	
3	桃園龜山區工廠火調		建築	D	物	
4	新北市新店區民宅火調		建築	D	物	
5	新北市板橋區民宅火調	2020	建築	D	物	
6	新北市五股區民宅火調		建築	D	物	
7	台南國家地震中心-柱構件之火、震害試驗		建築	D	物	
8	台南國家地震中心-構架屋構件之火、震害試驗		建築	D	物	
9	桃園市台61線橋墩鹽害剝落	2021	橋梁	D	化	
10	高雄市城中城火調		建築	D	物	
11	台北市社宅冷縫判識		建築	D	化	
12	新北市板橋區民宅火調	2022	建築	D	物	
13	花蓮縣玉興橋震害檢測		橋梁	D	物	

操作手冊與數位典藏

編號	項目	年份	檔案路徑
1	聲射(AE)教學影片	2018	
2	超音波脈衝(UP)操作手冊	2019	
3	聲射(AE)操作手冊	2019	
4	電子斑紋干涉(ESPI)操作手冊	2019	
5	超音波脈衝(UP)教學影片	2019	
6	多頻道表面波(MASW)操作手冊	2020	
7	多頻道表面波(MASW)分析手冊	2020	
8	多頻道表面波(MASW)教學影片	2020	

成果展現

編號	項目		數量
1	論文發表	SCI期刊	6
2		研討會(獲獎篇數2篇)	12
3	專利申請	a.火害傷損判識系統 b.水泥基質結構物聲學的火害判別方法 c.水泥基質結構物聲學的火害判別裝置 d.火害傷損判識之方法	4
4	人資投產	碩士(曹祖璟、王榆柔、柯志揚、黃崑塘、楊佳嘉、林欣蓉、黃仁佑、王力平、陳煜、曾畊嘉、林心怡)	11
5		博士(陳立憲、陳堯中、劉嵐瑋、陳偉志)	4
6	合作推廣	新北市消防局MOU簽訂 台北市、新北市消防局火調科技術推廣 建研所技轉推廣	4

Outline

- Part 1 .混凝土構材受火害之理論基礎
 - 热驅破壞理論基礎
 - 非破壞檢測原理及應用
- Part 2 .混凝土火害傷損(含與鋼筋握裹)之檢測驗效與例證
 - 火害案例成果分享
- Part 3 .混凝土之老、劣、風化非破壞檢測擴大應用之可行性
 - 混凝土老、劣、風化案例成果分享
 - 檢測操作示範分享
 - 展望

講習摘要

審視火災於鋼筋混凝土結構傷損仍為消防署災損調查報告之首要，惟昔見之破壞性鑑定調查既因鑽芯取樣再傷火損結構；後續費時之傷損鑑定方法又多屬低估，邇來有一「**新速實簡廉**」的非破壞性聲學檢測判識方法，係以“快篩型”的**體波**(body wave, 剪力波與壓縮波)作表層混凝土(抗壓強度與鋼筋保護層)的火害最大可能之傷損分佈評估；及“詳查型”的**表面波**(surface wave)作其構材內部(含鋼筋握裹)劣化分析之診察。

藉由**熱驅式破壞力學與非破壞聲學**之學理研析；與內、外業之案例實證驗效，確保其科學鑑識之信度與效度。

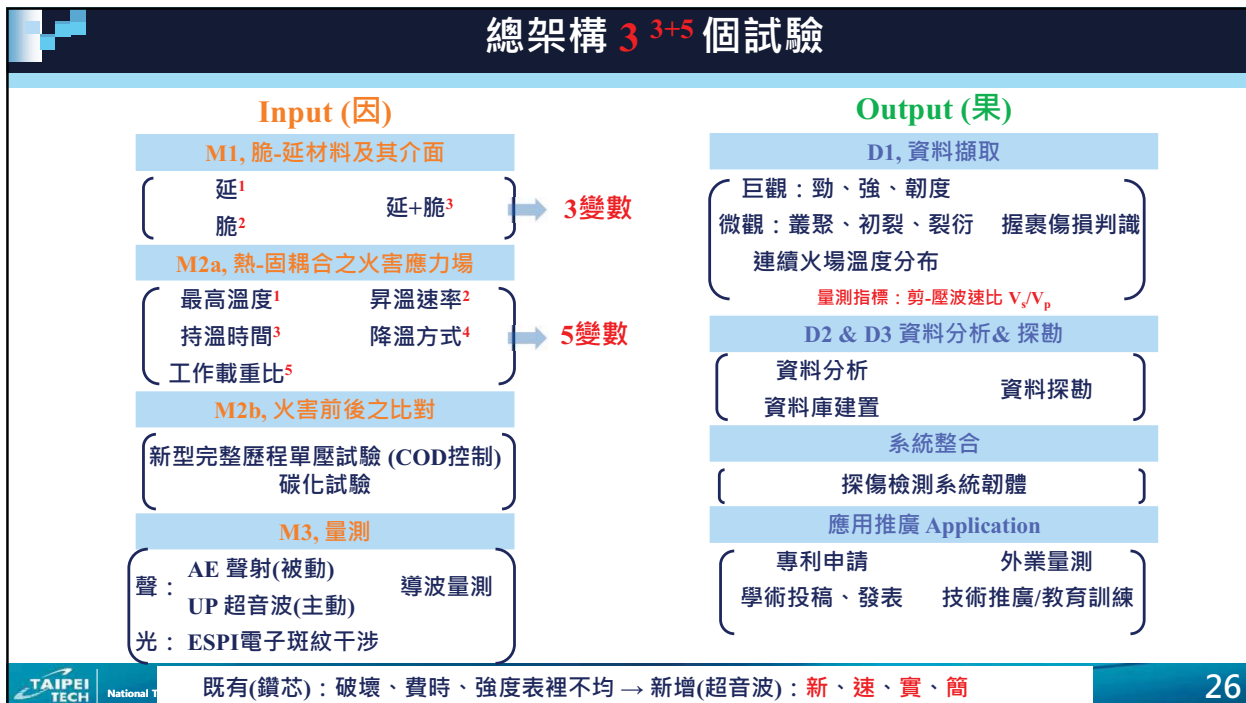
該項技術已獲**內政部建研所技轉推廣、四項專利與相關期刊論文發表、學研合作與獲獎(成大/北科大)、消防署與新北市消防局多年合作案場調研、晚近刊入土木技師公會鑑定手冊等諸項肯認。**

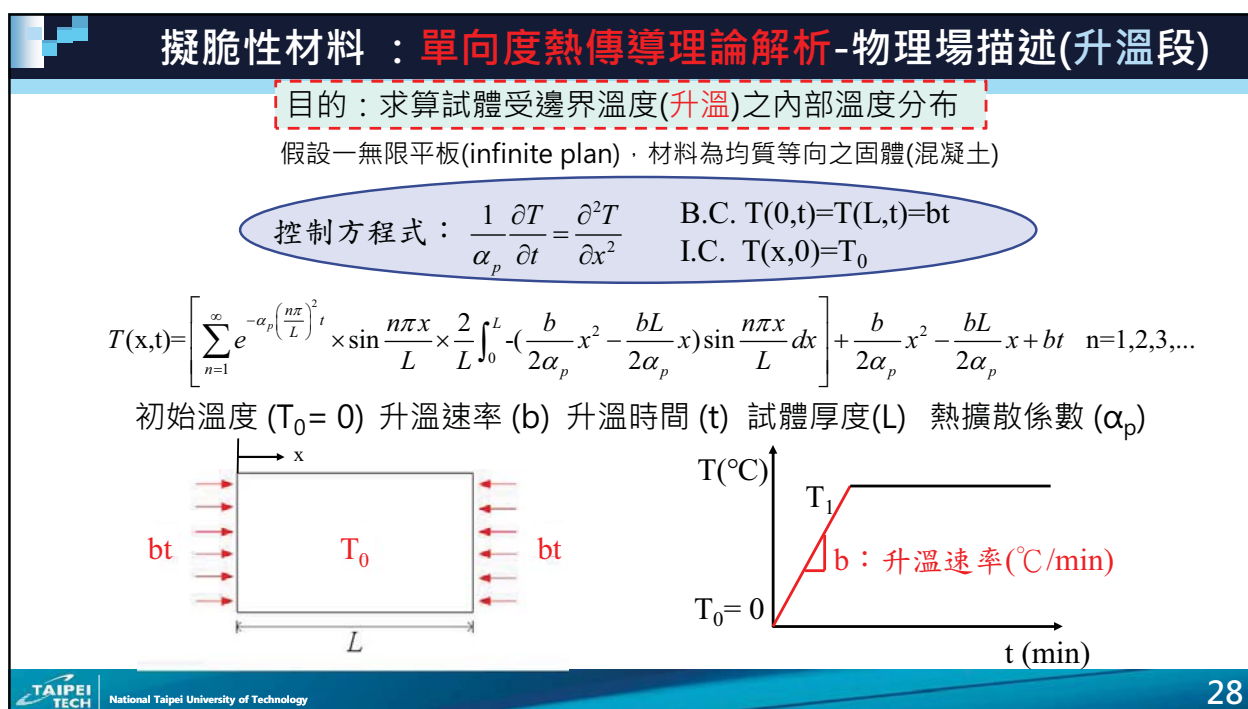
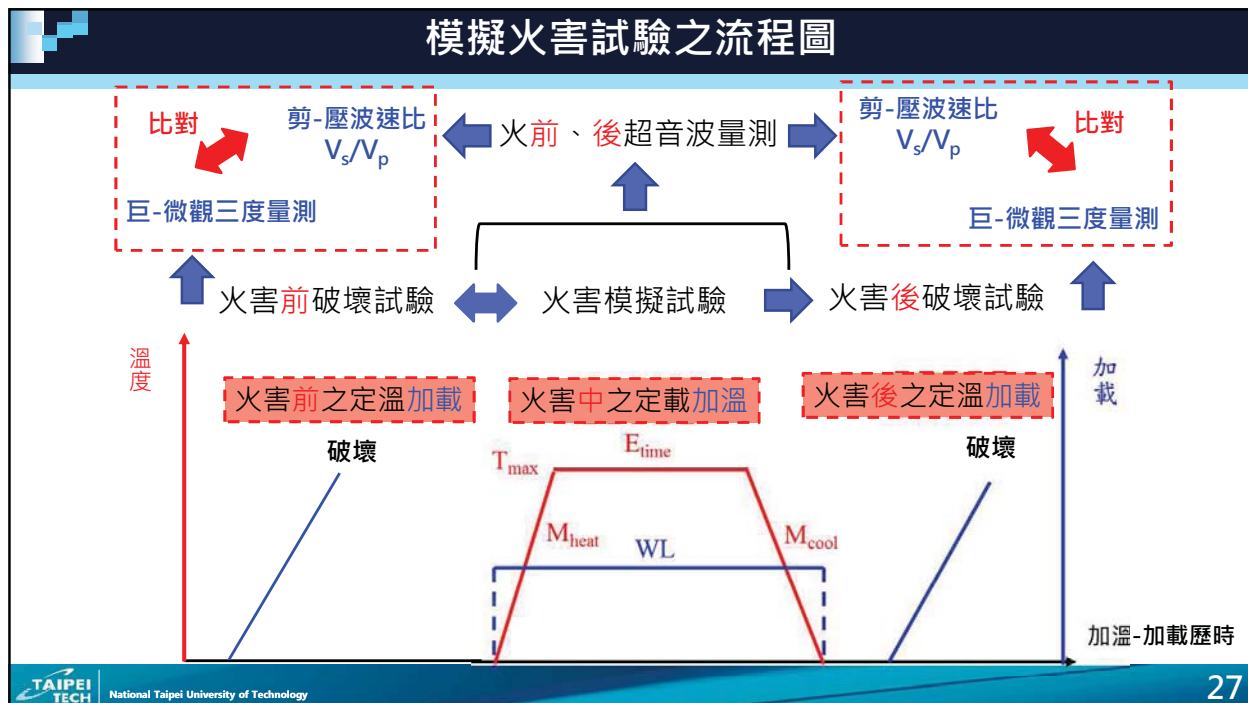
Part 1 .混凝土構材受火害之理論基礎

介紹擬脆性材料(Quasi-brittle)如混凝土、砂漿之水泥基質材，受到熱力驅動破壞(Heat-driven Damage)的機理與特徵，先以實驗室微觀的聲學與光學同步耦合驗證其熱驅破壞演化；暨其非破壞檢測之波傳(體波與表波)原理與應用。

熱驅破壞理論基礎

總架構 3³⁺⁵ 個試驗





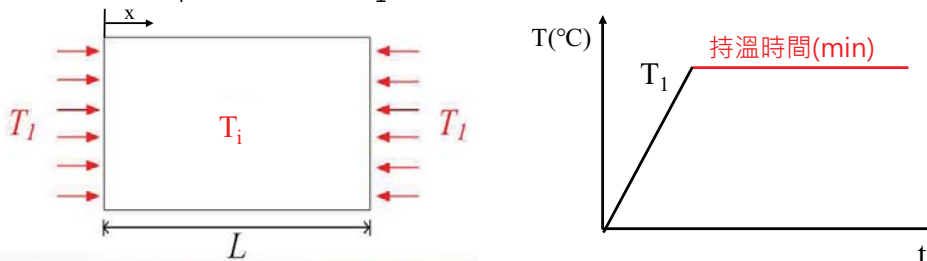
擬脆性材料：單向度熱傳導理論解析-物理場描述(持溫段)

目的：求算試體受邊界溫度(持溫)之內部溫度分布

控制方程式 $\frac{1}{\alpha_p} \frac{\partial T}{\partial t} = \frac{\partial^2 T}{\partial x^2}$ B.C. $T(0,t)=T(L,t)=T_1$
I.C. $T(x,0)=f(x)$

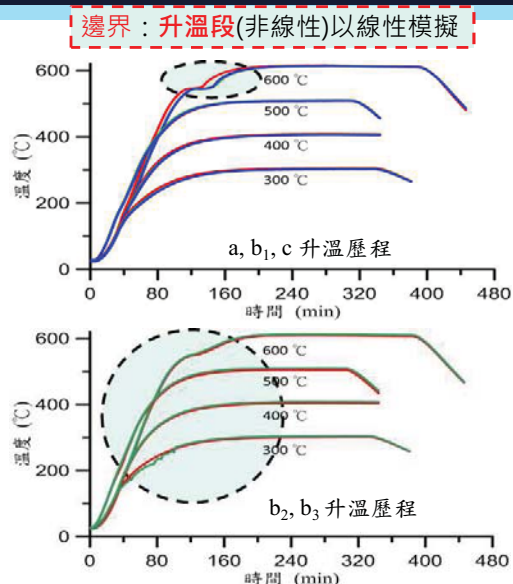
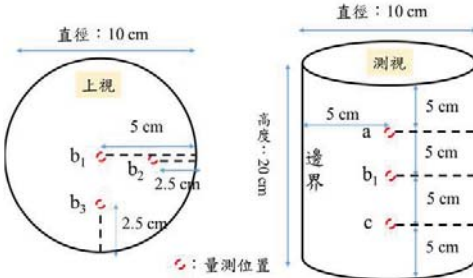
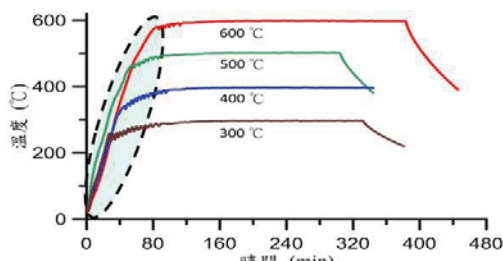
$$T(x,t) = \left[\sum_{n=1}^{\infty} e^{-\alpha_p \left(\frac{n\pi}{L} \right)^2 (t-t_1)} \times \sin \frac{n\pi x}{L} \times \frac{2}{L} \int_0^L (f(x) - T_{\max}) \sin \frac{n\pi x}{L} dx \right] + T_{\max}, \quad n=1,3,5$$

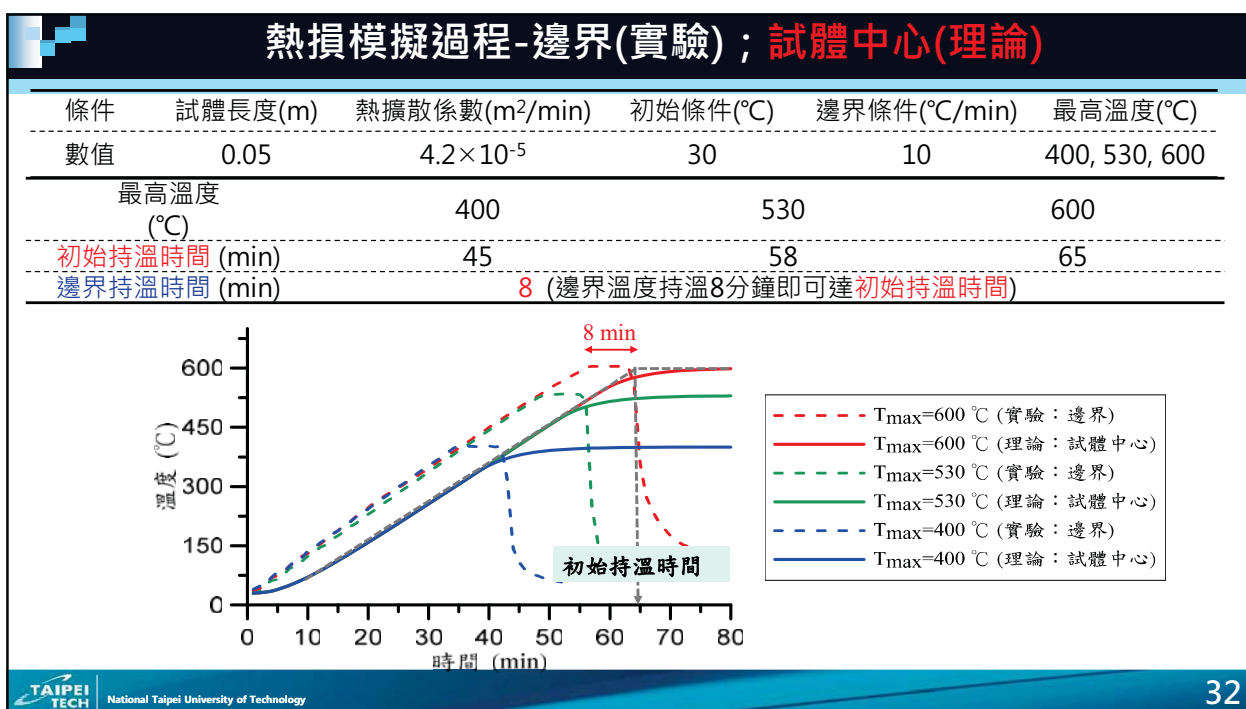
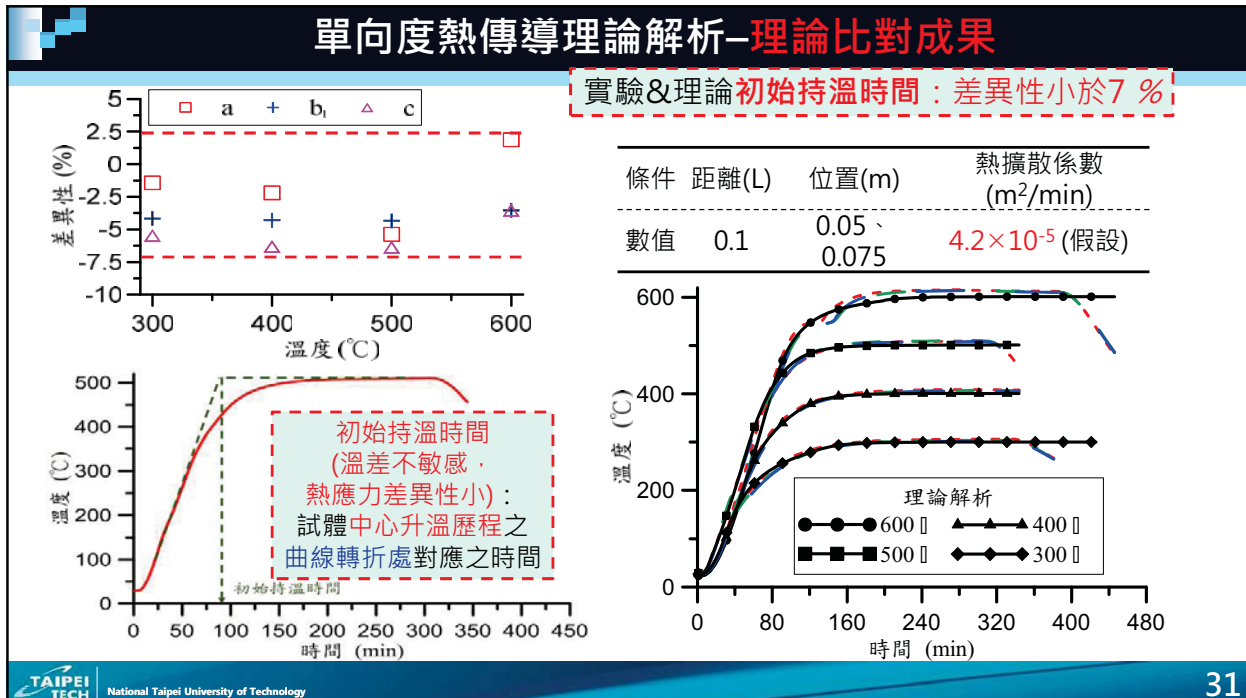
初始溫度 (T_i) 邊界溫度 (T_1) 持溫時間 (t) 試體厚度(L) 热擴散係數 (α_p)

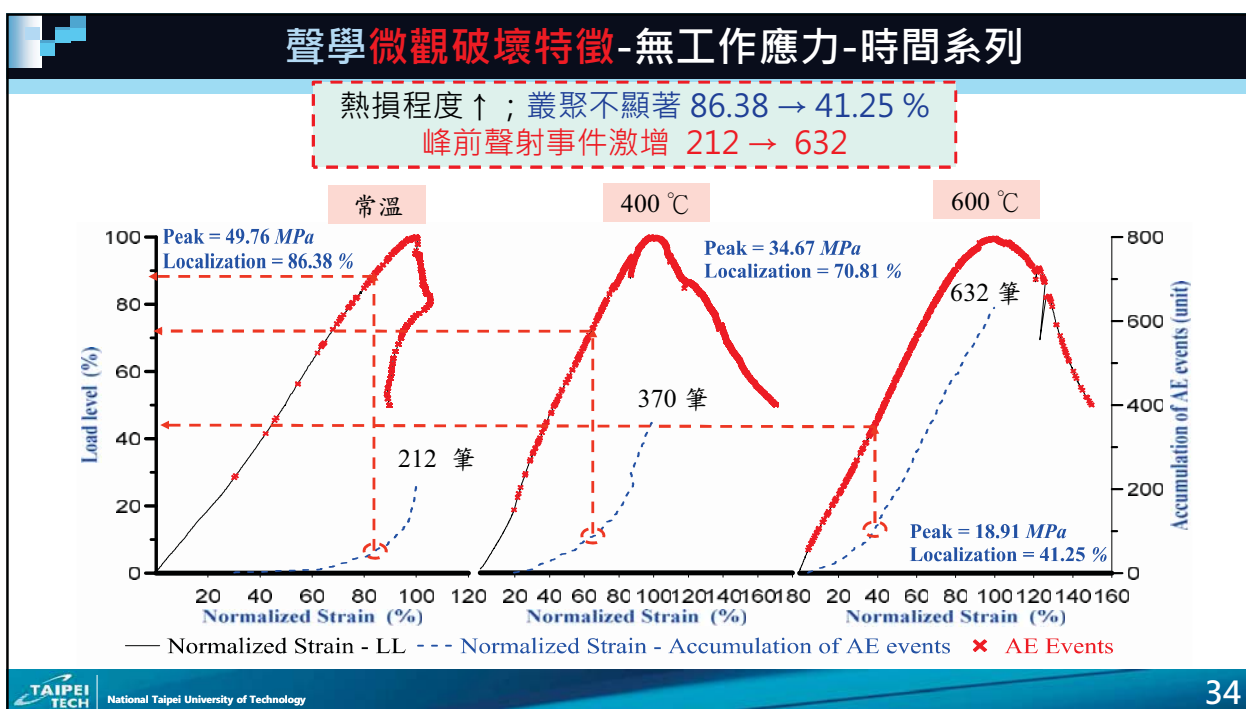
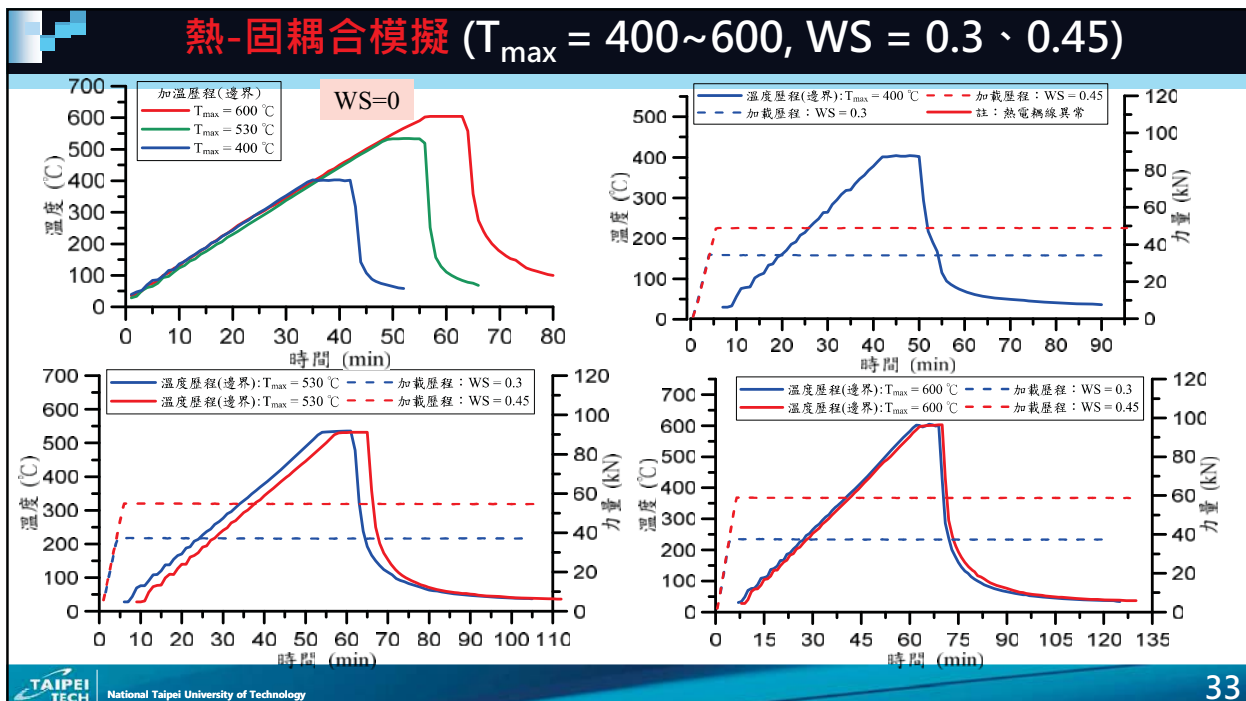


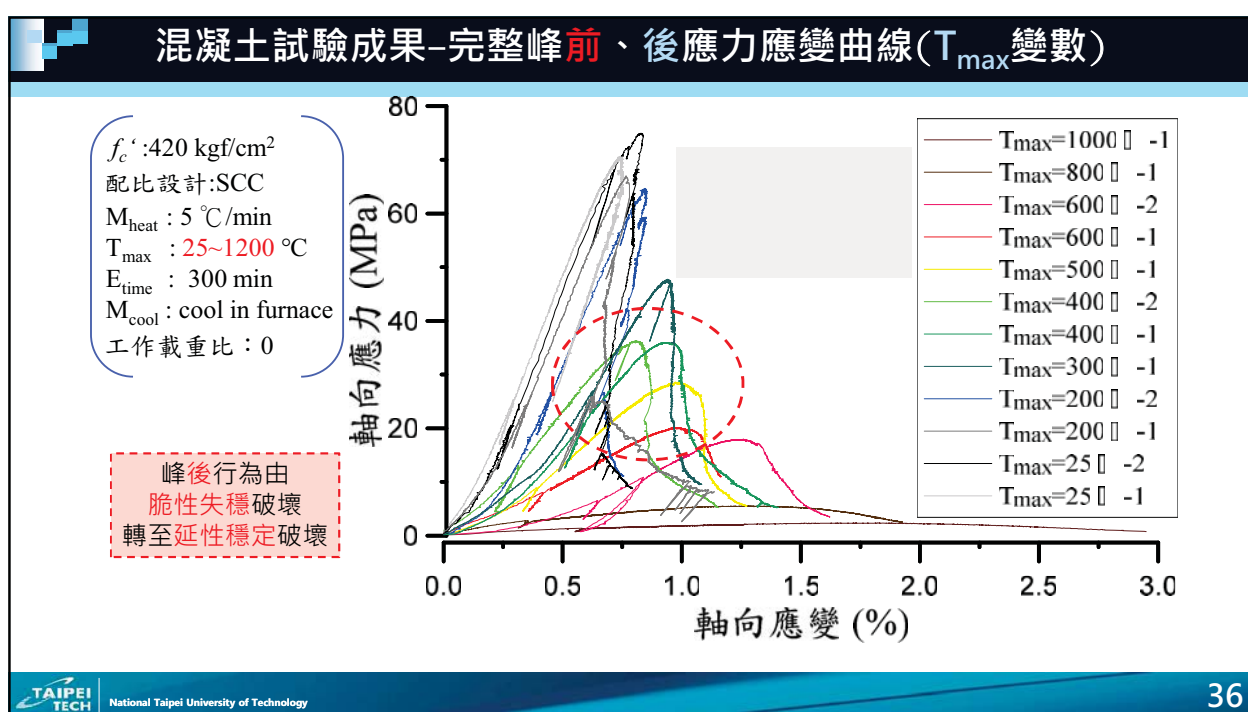
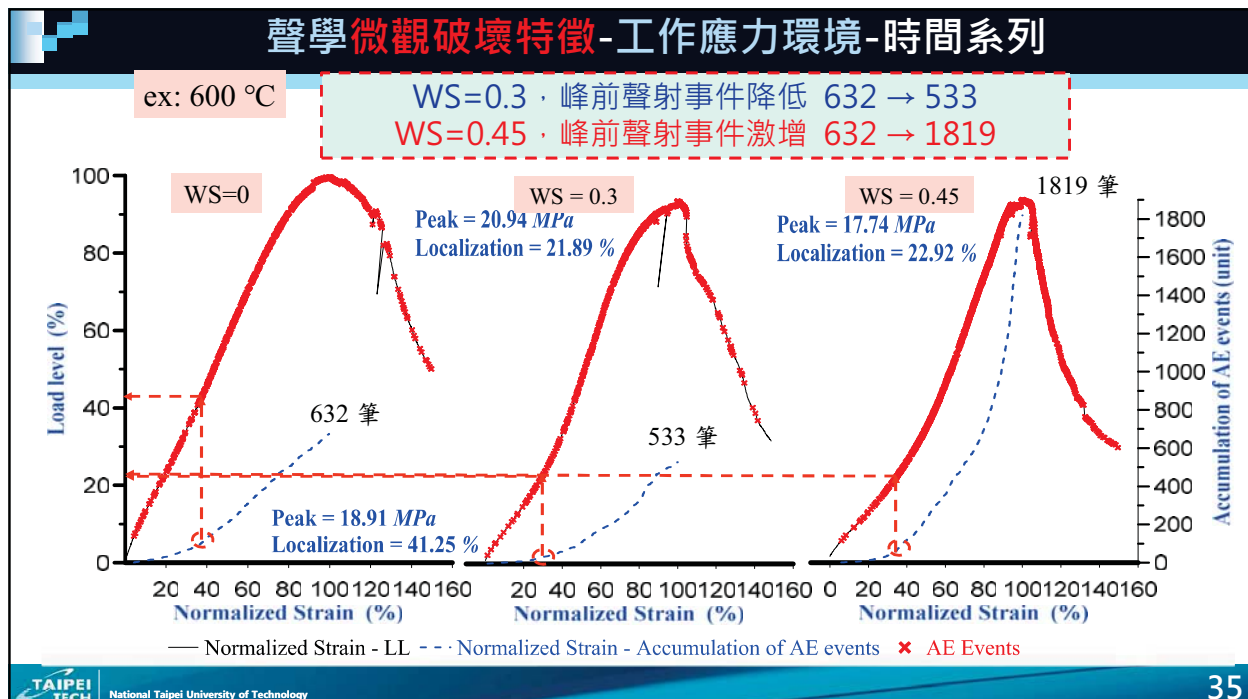
單向度熱傳導理論解析-溫度量測成果

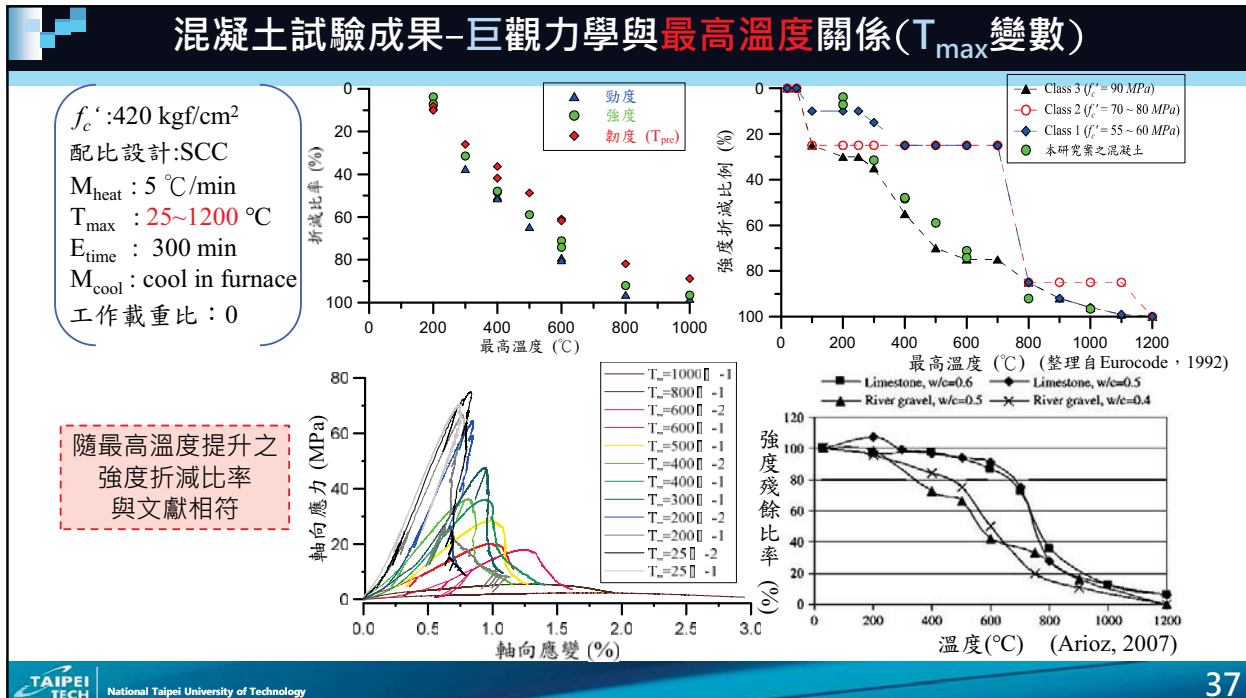
邊界：升溫段(非線性)以線性模擬



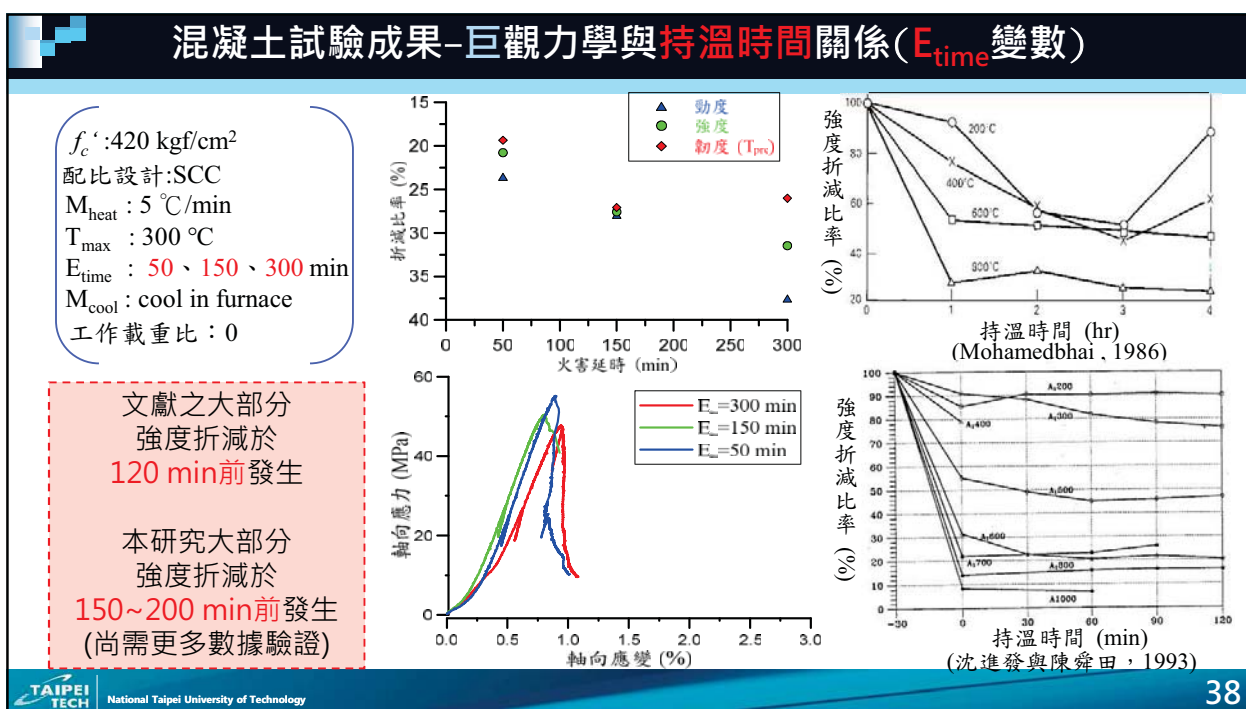




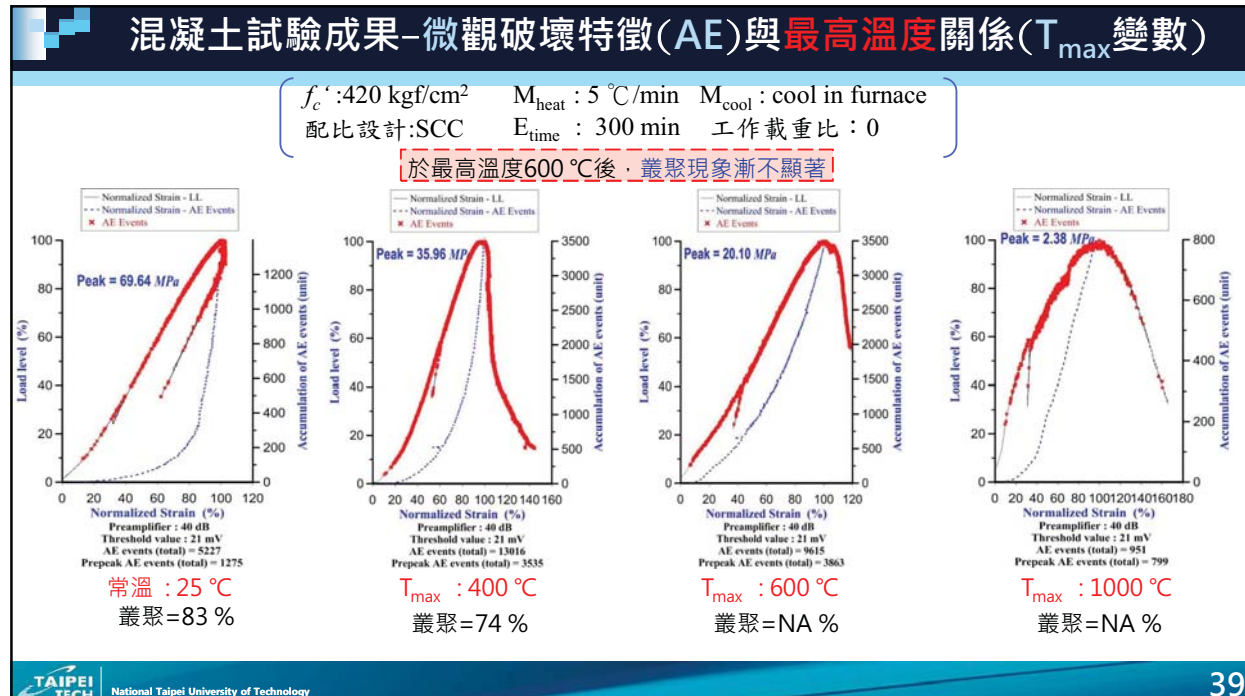




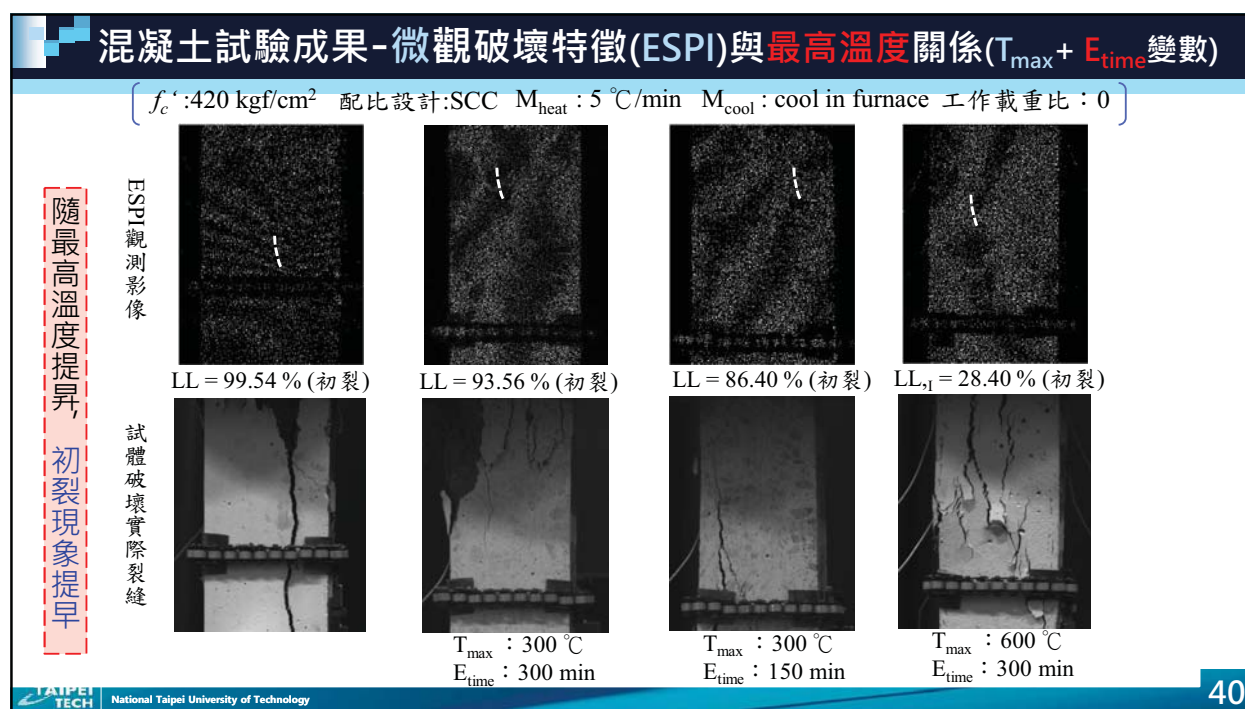
37



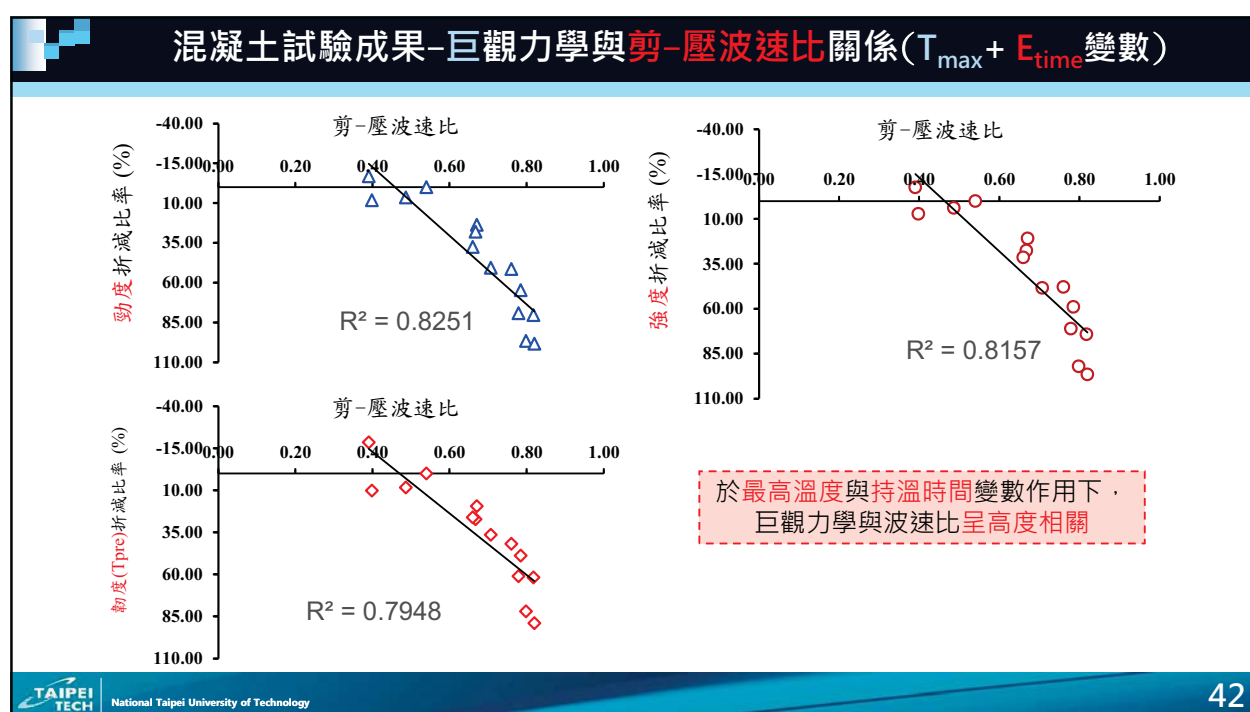
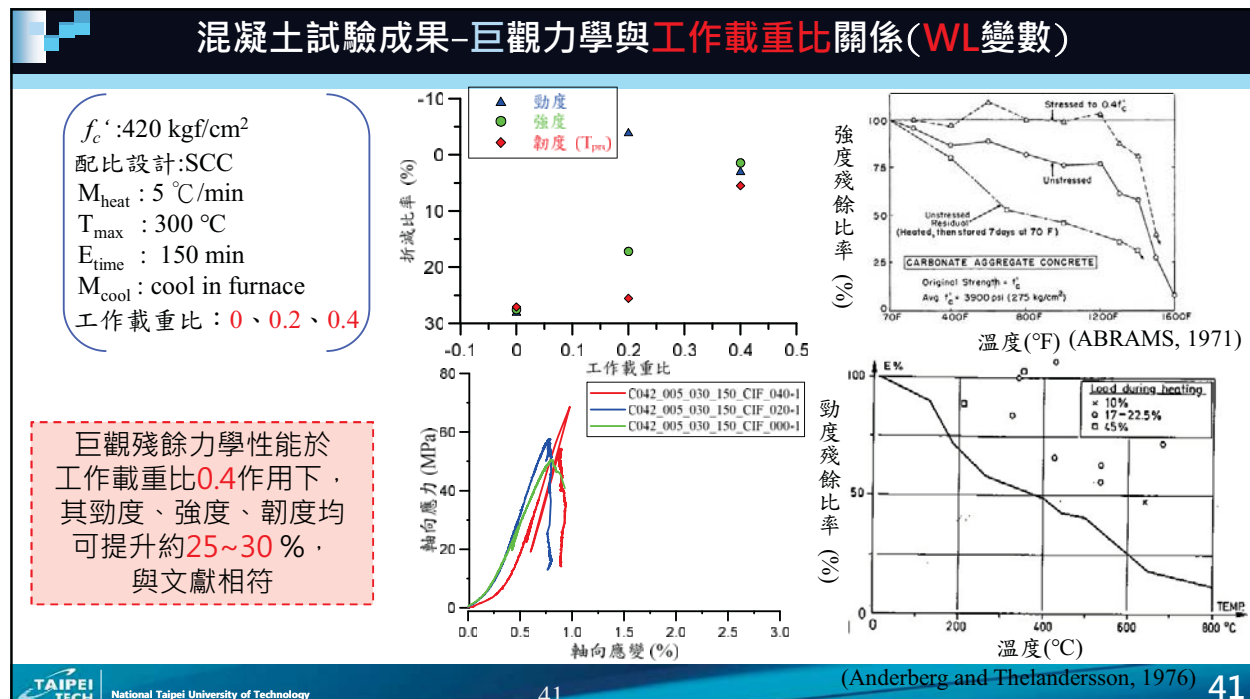
38

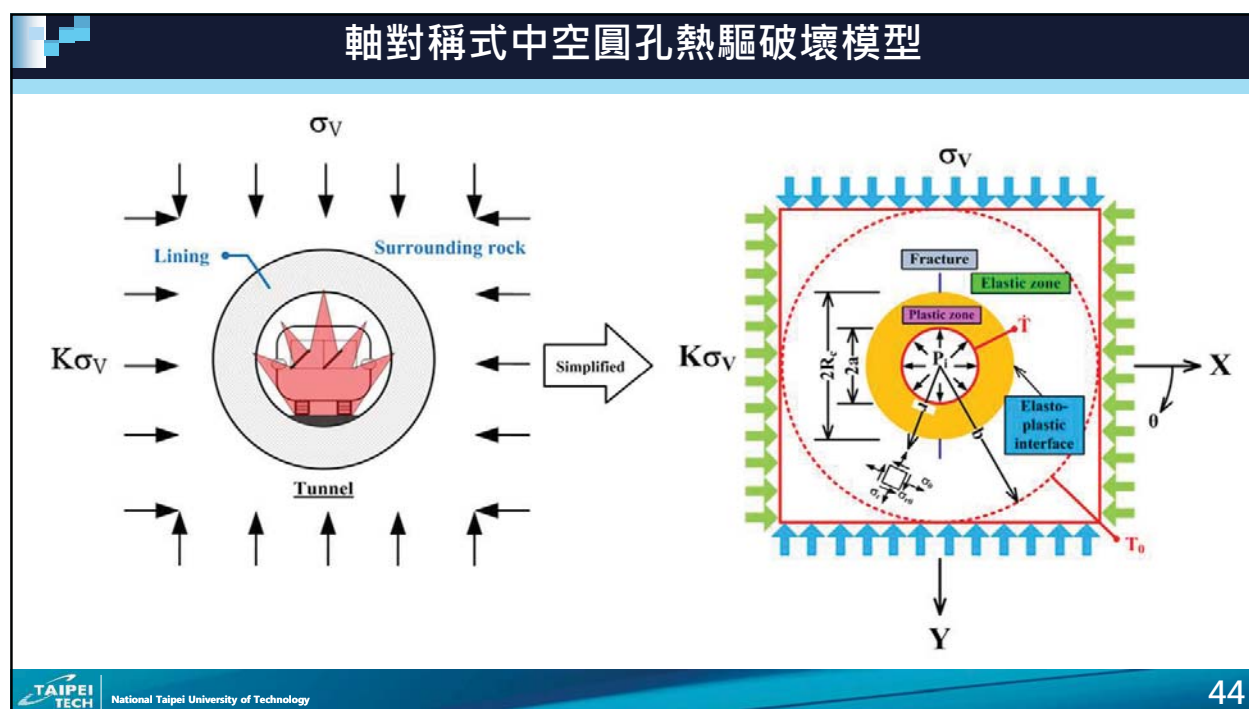
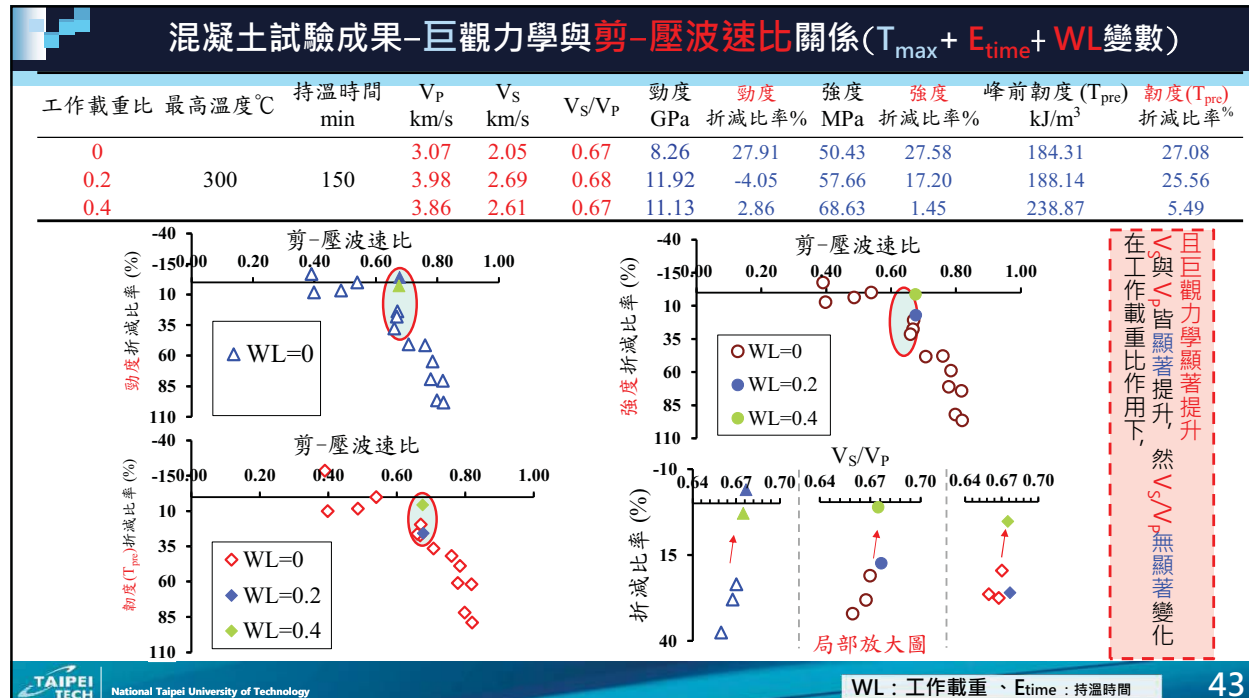


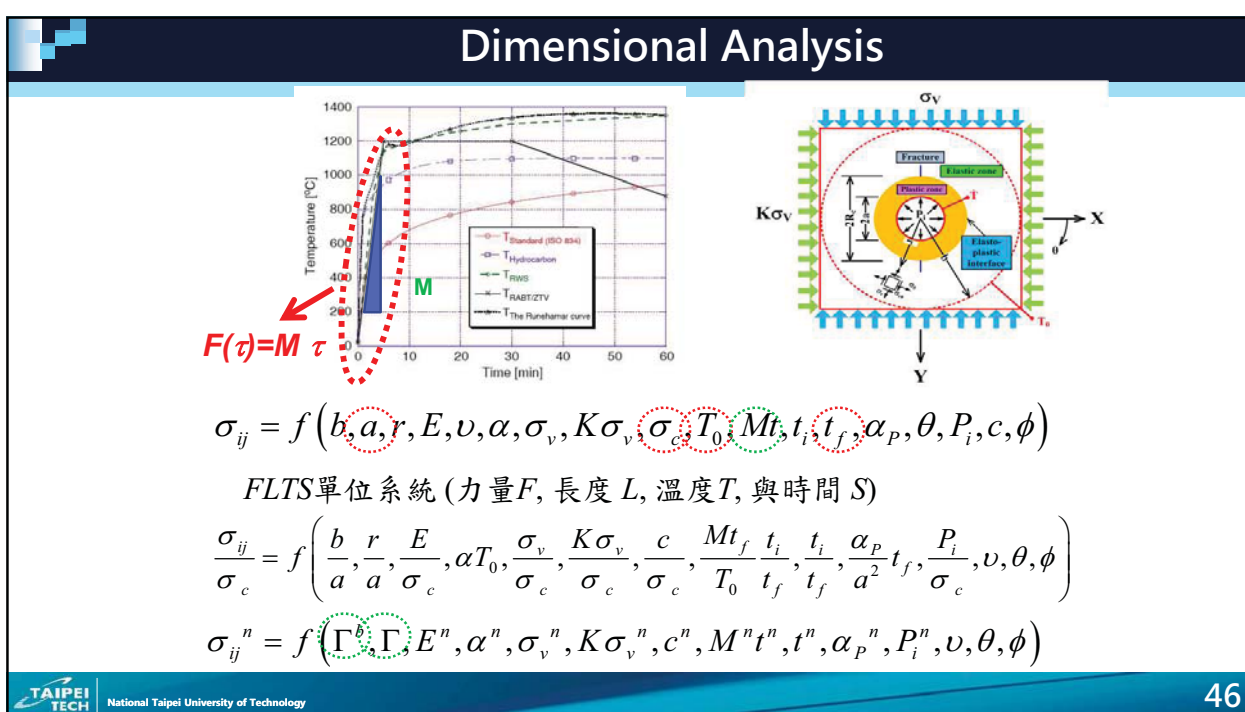
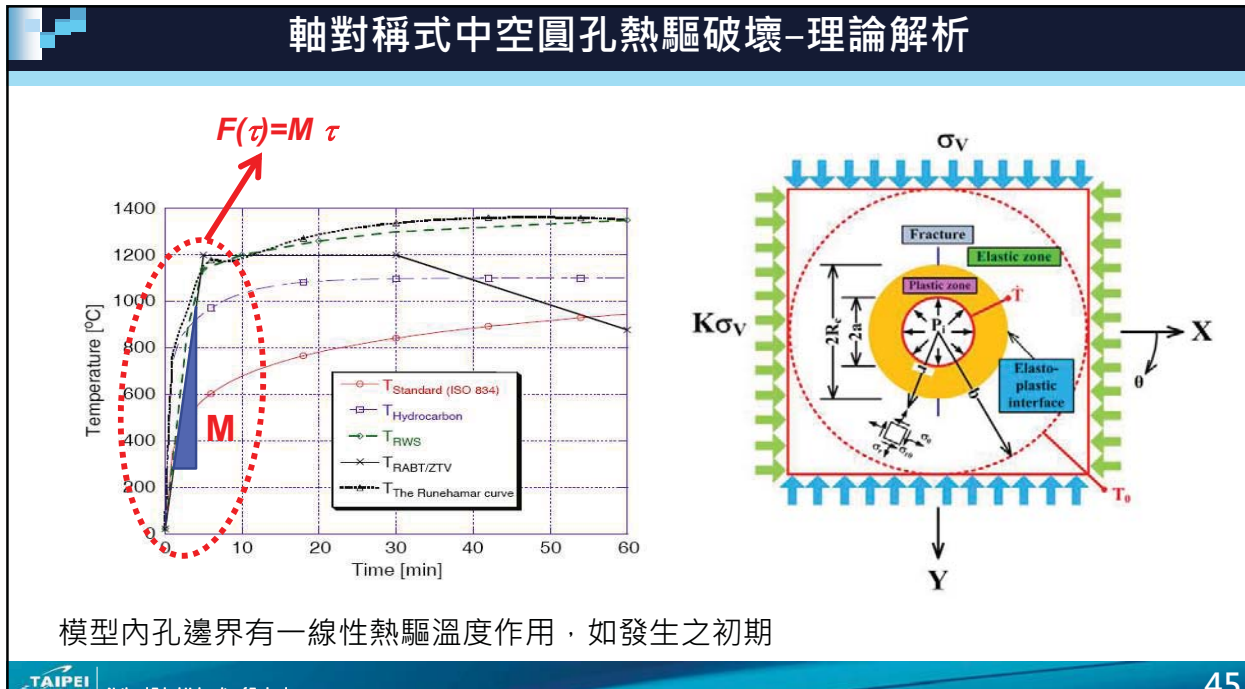
39



40







Dimensional Analysis

分離變數法

$$U(\Gamma, t) = R_v(\Gamma) T_t(t^n)$$

Bessel function

$$R_v'' + \frac{1}{r} R_v' + \beta^2 R_v = 0$$

Duhamel's theorem

$$\theta(\Gamma, t^n - \tau^n) = \int_{\tau^n=0}^{\tau^n=t^n} \phi(\Gamma, t^n - \tau^n) \frac{dF(\tau)}{d\tau} d\tau$$

熱彈應力積分函數

$$\sigma_r^n = \alpha^n E^n \frac{1}{\Gamma^2} \left[\left(\frac{\Gamma^2 - 1}{\Gamma^{b^2} - 1} \right) \int_1^{\Gamma^b} \theta^n \Gamma d\Gamma - \int_1^{\Gamma} \theta^n \Gamma d\Gamma \right]$$

$$\sigma_\theta^n = \alpha^n E^n \frac{1}{\Gamma^2} \left[\left(\frac{\Gamma^2 + 1}{\Gamma^{b^2} - 1} \right) \int_1^{\Gamma^b} \theta^n \Gamma d\Gamma + \int_1^{\Gamma} \theta^n \Gamma d\Gamma - \theta^n \Gamma^2 \right]$$

線性熱驅熱傳解

$$\theta(\Gamma, t^n) = \frac{M^n}{\ln(\Gamma^b)} \left[\ln\left(\frac{\Gamma^b}{\Gamma}\right) t^n - \frac{\pi^2}{2} \sum_{m=1}^{\infty} \begin{vmatrix} J_0(\beta_m \Gamma) & J_0(\beta_m \Gamma^b) \\ Y_0(\beta_m \Gamma) & Y_0(\beta_m \Gamma^b) \end{vmatrix} \begin{vmatrix} J_0(\beta_m) & J_0(\beta_m \Gamma^b) \\ Y_0(\beta_m) & Y_0(\beta_m \Gamma^b) \end{vmatrix} \right]$$

$$\times \frac{1}{\alpha_p^n} \left[1 - e^{-\beta_m^2 \alpha_p^n t^n} \right] \times \sum_{\Gamma=1}^{\Gamma=\Gamma^b} \begin{vmatrix} J_0(\beta_m \Gamma) & J_0(\beta_m \Gamma^b) \\ Y_0(\beta_m \Gamma) & Y_0(\beta_m \Gamma^b) \end{vmatrix} \ln\left(\frac{\Gamma^b}{\Gamma}\right) \Delta \Gamma \right\}$$

耦合 熱力驅動彈力解 內、外徑固力作用

熱力驅動塑力解

47

線性熱驅彈性解析解-徑向應力

$\sigma_r^{n, E} = \frac{\alpha^n E^n M^n}{2 \ln(\Gamma^b) \Gamma^2} \left\{ t^n \left[- \left(\frac{\Gamma^2 - \Gamma^{b^2}}{\Gamma^{b^2} - 1} \right) \ln(\Gamma^b) - \Gamma^2 \ln\left(\frac{\Gamma^b}{\Gamma}\right) \right] \right.$

$- \pi^2 \sum_{m=1}^{\infty} \begin{vmatrix} J_0^2(\beta_m) & 1 \\ J_0(\beta_m) & J_0(\beta_m \Gamma^b) \\ J_0(\beta_m \Gamma^b) & J_0(\beta_m) \end{vmatrix} \frac{1}{\alpha_p^n} \left[1 - e^{-\beta_m^2 \alpha_p^n t^n} \right] \times \sum_{\Gamma=1}^{\Gamma=\Gamma^b} \begin{vmatrix} J_0(\beta_m \Gamma) & J_0(\beta_m \Gamma^b) \\ Y_0(\beta_m \Gamma) & Y_0(\beta_m \Gamma^b) \end{vmatrix} \ln\left(\frac{\Gamma^b}{\Gamma}\right) \Delta \Gamma \times$

$\left. \frac{1}{\beta_m} \left[\frac{\Gamma^2 - 1}{\Gamma^{b^2} - 1} \begin{vmatrix} J_0(\beta_m \Gamma^b) & 1 \\ J_1(\beta_m) & \Gamma^b \end{vmatrix} - J_0(\beta_m \Gamma^b) \begin{vmatrix} Y_0(\beta_m \Gamma^b) & 1 \\ Y_1(\beta_m) & \Gamma^b \end{vmatrix} \right] - \begin{vmatrix} Y_0(\beta_m \Gamma^b) & 1 \\ J_1(\beta_m) & \Gamma \end{vmatrix} - J_0(\beta_m \Gamma^b) \begin{vmatrix} Y_0(\beta_m \Gamma) & 1 \\ Y_1(\beta_m) & \Gamma \end{vmatrix} \right\}$

「熱力」驅動

$+ \left(\frac{1}{\Gamma^{b^2} - 1} \right) \left[1 - \left(\frac{\Gamma^b}{\Gamma} \right)^2 \right] P_i^n + \frac{\sigma_v^n}{2} (1+K) \left[\left(1 - \frac{1}{\Gamma^2} \right) - \left(1 - \frac{4}{\Gamma^2} + \frac{3}{\Gamma^4} \right) \left(\frac{1-K}{1+K} \right) \cos(2\theta) \right]$

「固力」耦合作用

48

線性熱驅彈性解析解-切向應力

$$\sigma_{\theta}^{n, E} = \frac{\alpha^n E^n M^n}{2 \ln(\Gamma^b) \Gamma^2} \left\{ t^n \left[-\left(\frac{\Gamma^2 + \Gamma^{b^2}}{\Gamma^{b^2} - 1} \right) \ln(\Gamma^b) - \Gamma^2 \ln\left(\frac{\Gamma^b}{\Gamma}\right) + \Gamma^2 \right] \right.$$

$$\left. - \pi^2 \sum_{m=1}^{\infty} \left| \begin{array}{c} J_0(\beta_m) \\ J_0(\beta_m \Gamma^b) \end{array} \right| \left| \begin{array}{c} J_0(\beta_m) \\ J_0(\beta_m \Gamma^b) \end{array} \right| \frac{1}{\alpha_p} \left[1 - e^{-\beta_m^2 \alpha_p^n t^n} \right] \times \left[\sum_{\Gamma=1}^b \left| \begin{array}{c} J_0(\beta_m \Gamma) & J_0(\beta_m \Gamma^b) \\ Y_0(\beta_m \Gamma) & Y_0(\beta_m \Gamma^b) \end{array} \right| \ln\left(\frac{\Gamma^b}{\Gamma}\right) \Delta \Gamma \right] \times \right.$$

$$\left. \frac{1}{\beta_m} \left\{ \frac{\Gamma^2 + 1}{\Gamma^{b^2} - 1} \left| \begin{array}{c} J_1(\beta_m \Gamma^b) & 1 \\ J_1(\beta_m) & \Gamma^b \end{array} \right| - J_0(\beta_m \Gamma^b) \left| \begin{array}{c} Y_1(\beta_m \Gamma^b) & 1 \\ Y_1(\beta_m) & \Gamma^b \end{array} \right| \right\} - \Gamma^2 \beta_m \left| \begin{array}{c} J_0(\beta_m \Gamma) & J_0(\beta_m \Gamma^b) \\ Y_0(\beta_m \Gamma) & Y_0(\beta_m \Gamma^b) \end{array} \right| \right\} \right]$$

$$+ \left[Y_0(\beta_m \Gamma^b) \left| \begin{array}{c} J_1(\beta_m \Gamma) & 1 \\ J_1(\beta_m) & \Gamma \end{array} \right| - J_0(\beta_m \Gamma^b) \left| \begin{array}{c} Y_1(\beta_m \Gamma) & 1 \\ Y_1(\beta_m) & \Gamma \end{array} \right| \right]$$

$$+ \left(\frac{1}{\Gamma^{b^2} - 1} \right) \left[1 + \left(\frac{\Gamma^b}{\Gamma} \right)^2 \right] P_i^n + \frac{\sigma_v^n}{2} (1 + K) \left[\left(1 + \frac{1}{\Gamma^2} \right) + \left(1 + \frac{3}{\Gamma^4} \right) \left(\frac{1 - K}{1 + K} \right) \cos(2\theta) \right]$$

「熱力」驅動

「固力」耦合作用

TAIPEI TECH | National Taipei University of Technology 49

線性熱驅條件因子

$$\zeta_M = \frac{\alpha^n E^n M^n + (2P_i^n + (1+K)\sigma_v^n)\alpha_p^n \ln(\Gamma^b)}{2 \ln(\Gamma^b) \alpha_p^n}$$

$$= \frac{\alpha EM a^2 + (2P_i^n + (1+K)\sigma_v^n)\alpha_p^n \ln(b/a)}{2 \ln(b/a) \sigma_c \alpha_p^n}$$

TAIPEI TECH | National Taipei University of Technology 50

25

線性熱驅塑性解析解

莫爾-庫倫模式與軸對稱問題(K=0 或 1)

$$\sigma_{\theta}^{n,p} \frac{1+\sin\phi}{2c^n \cos\phi} - \sigma_r^{n,p} \frac{1-\sin\phi}{2c^n \cos\phi} = 1$$



Elastic

$$\sigma_r^{n,p} = \frac{1}{\Pi} \left[\Gamma^{\Pi} + \frac{\Pi \sigma_{r_c}^{n,E} + \Omega}{\Gamma_c^{\Pi}} \right] - \frac{1}{\Pi} \Omega$$

Inner Hole

Plastic

$$\frac{1}{\Pi} = \frac{m}{1-m}$$

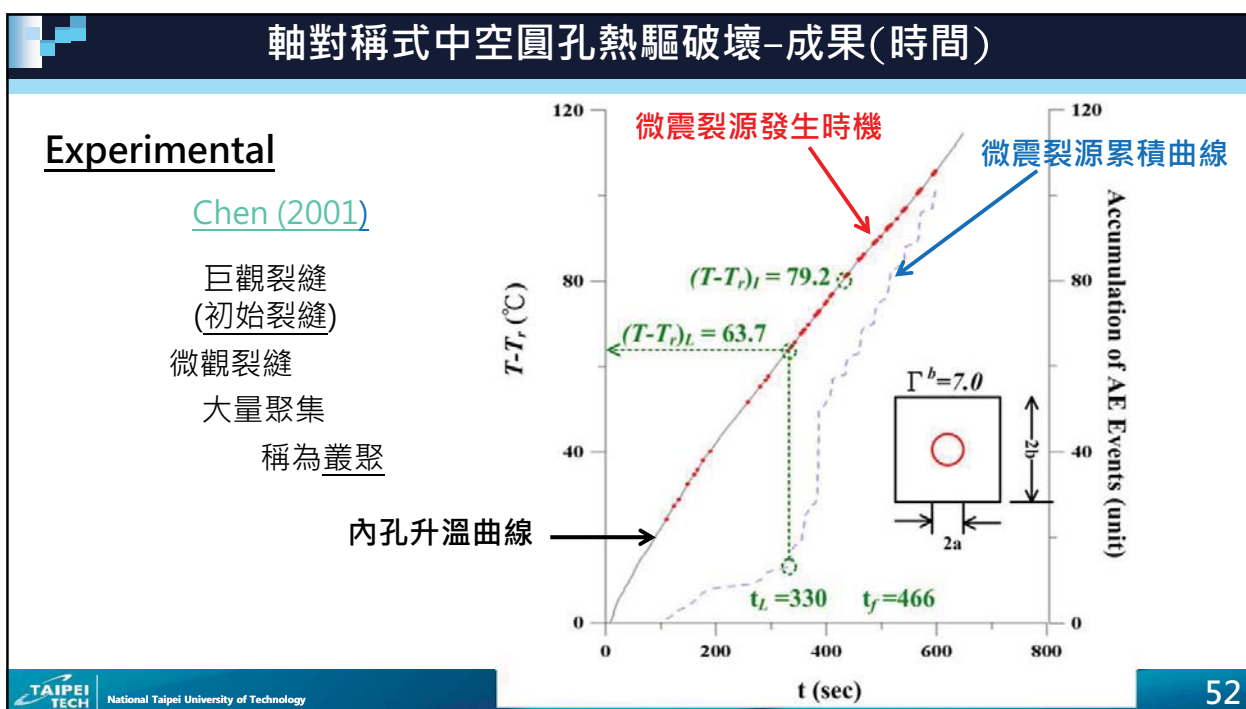
$$m = \frac{1+\sin\phi}{1-\sin\phi}$$

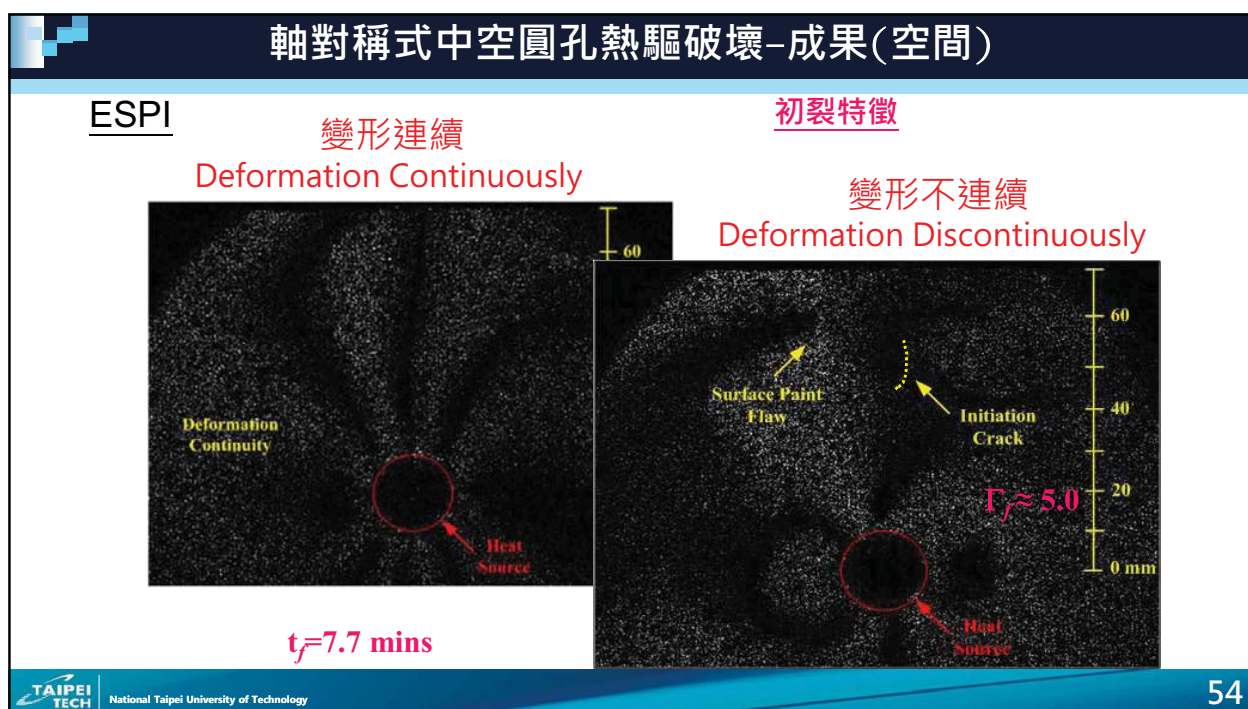
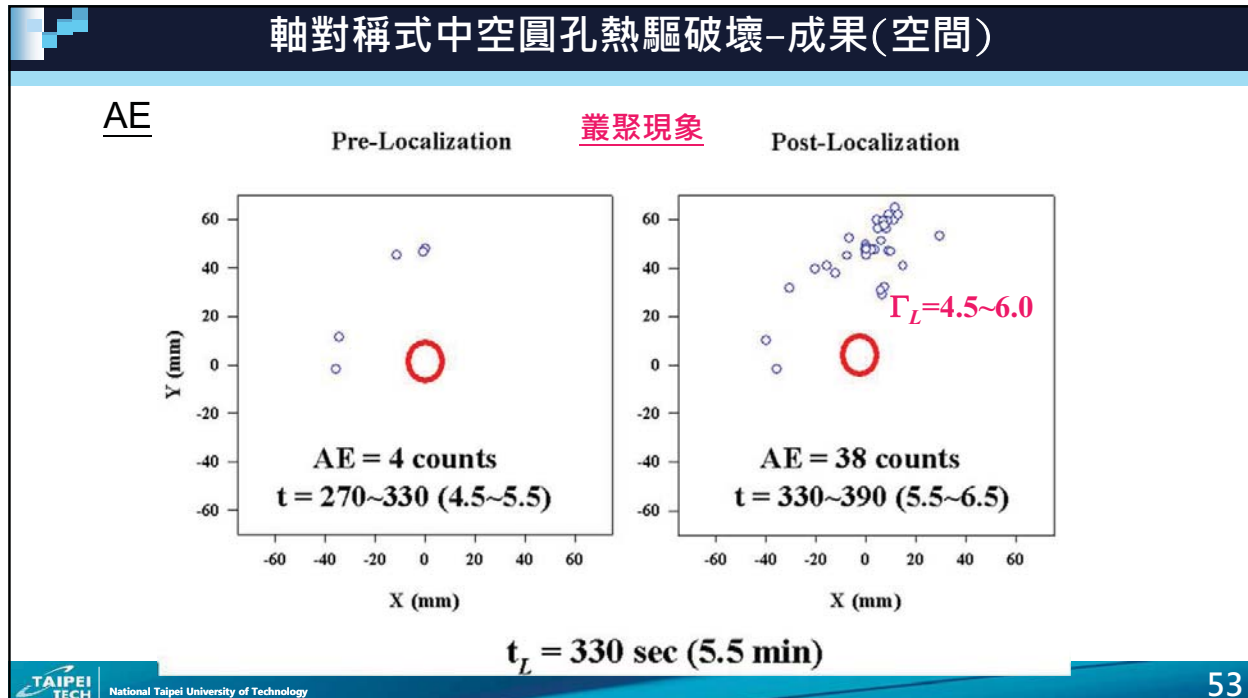
$$\Omega = \frac{2c^n \cos\phi}{m(1-\sin\phi)}$$

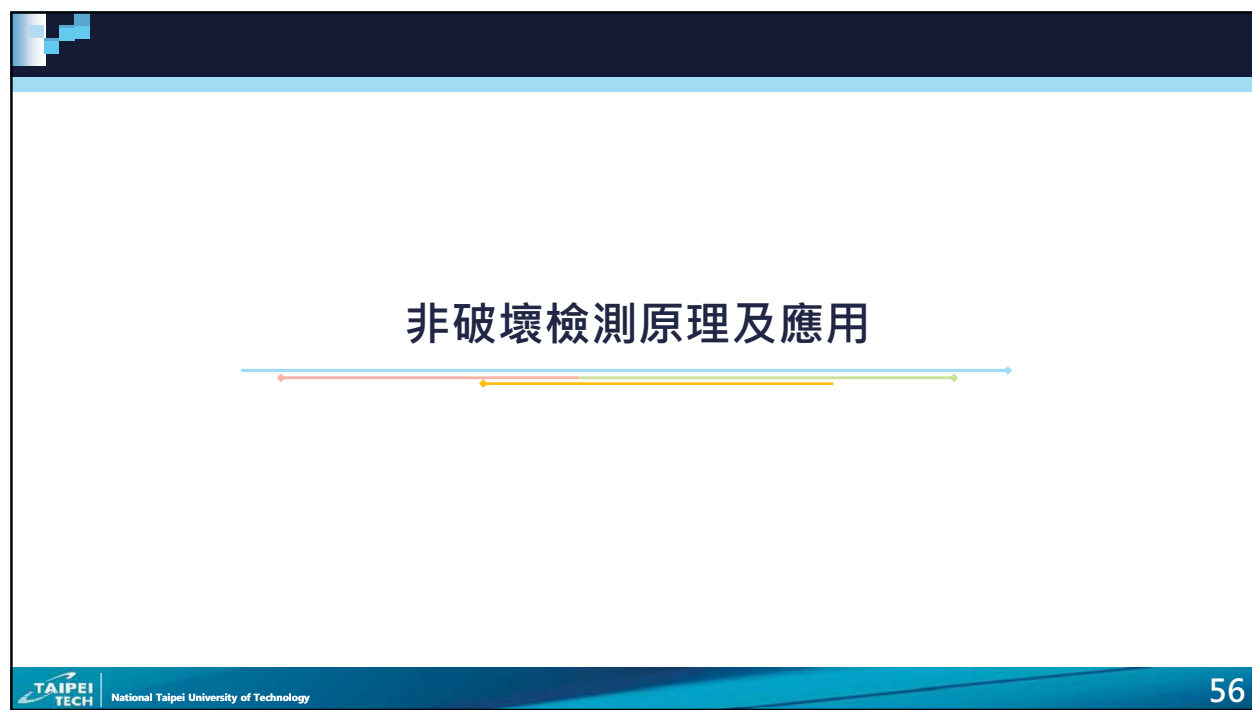
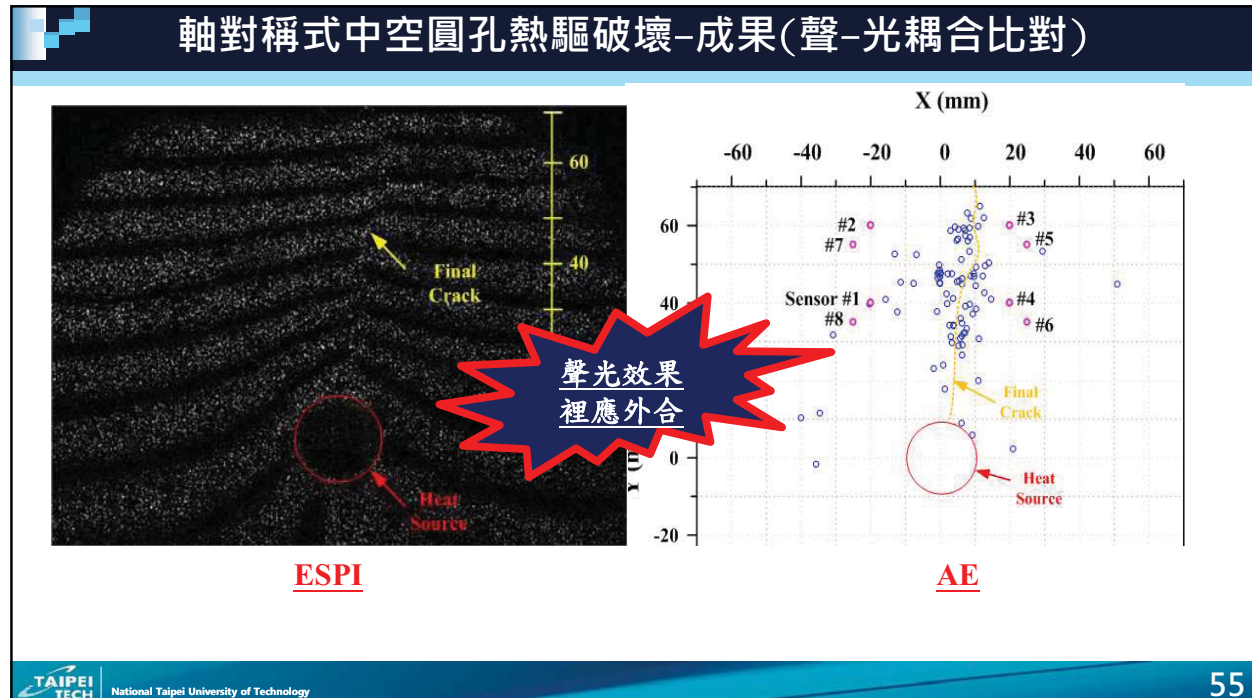
臨界彈塑性半徑

$$\Gamma_{Cf}^{\Pi} = \left[\Gamma_{Cf}^{\Pi} \left(m\Pi \sigma_t^n + \frac{1}{\Pi} \Omega \right) - \Pi \sigma_{r_c}^{n,E} - \Omega \right]^{0.5}$$

51







體、表一體：波基法 (Wave-based Method)

體波：超音波脈衝 (Ultrasonic Pulse, UP) - 縱波、橫波 (V_s 、 V_p)

表面波：導波 (Guide Wave, GW) - 多頻道表面波分析 (Multi-channel Analysis of Surface Wave, MASW)

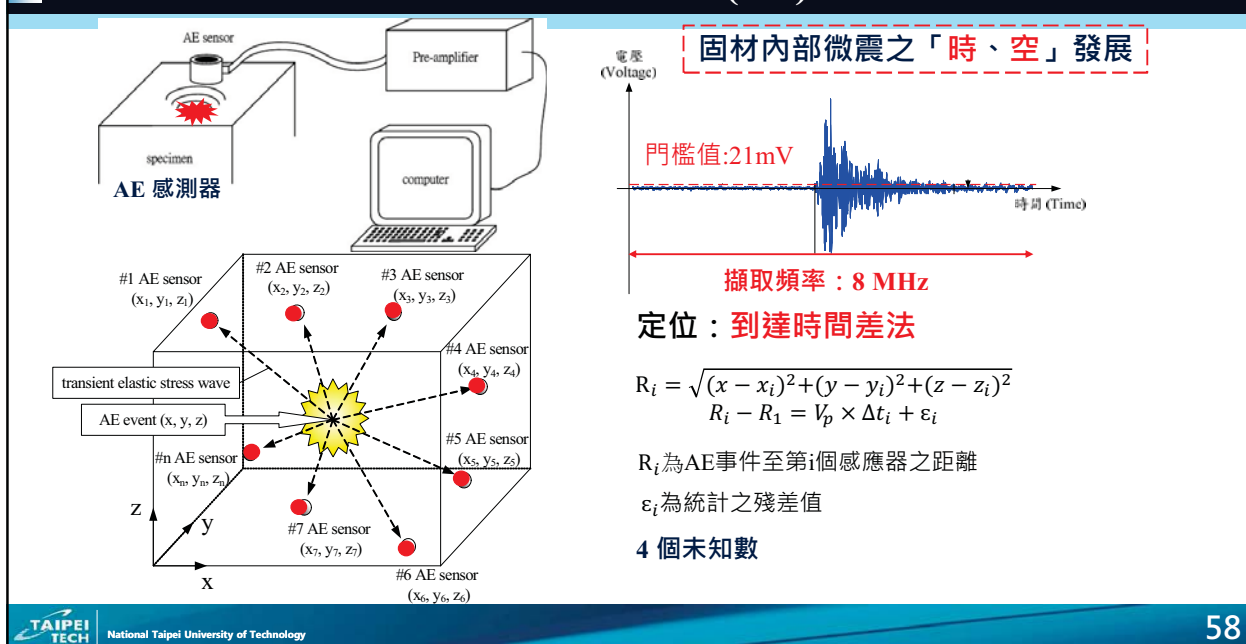
聲射法 (Acoustic Emission, AE) 電子斑紋干涉術 (Electronic Speckle Pattern Interferometry, ESPI)

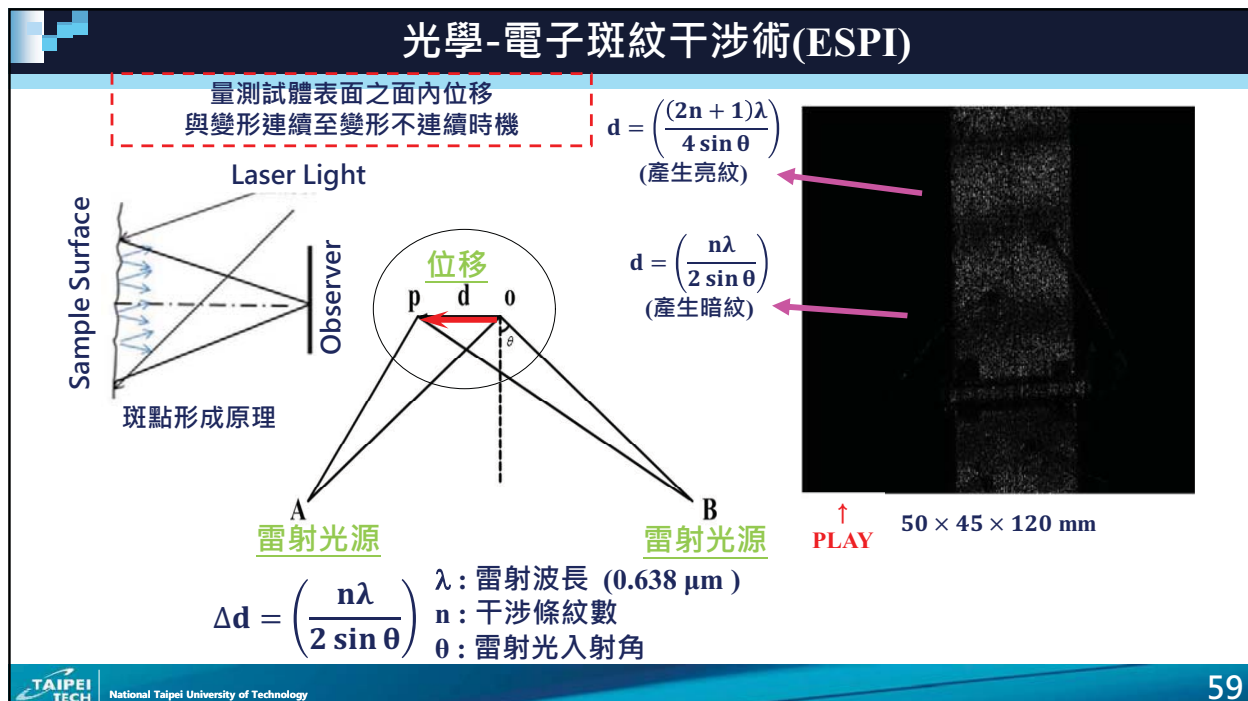
- 耦合體波與表面波技術建置主、被動式聲波法 (UP與GW、AE)，佐配電子斑點干涉術 (ESPI) 檢測材料內、外部之巨-微觀尺度及複合介面破壞特徵，作為火害傷損之科學辨識。



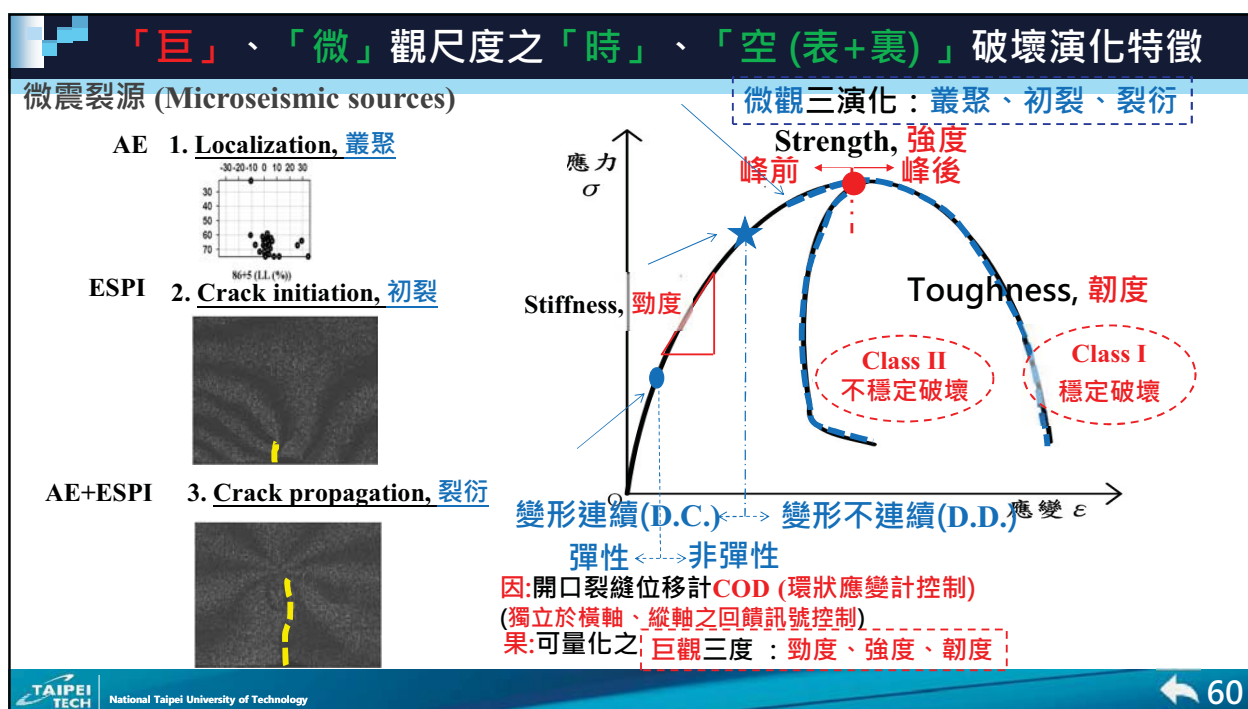
- 並以簡速之主動式聲波為應用量測，建立正規化指標(剪-壓波速比， V_s/V_p)與導波特徵，定量判識構材之熱損程度。(註：體波: 橫波 V_s 、縱波 V_p)

聲學-聲射法(AE)

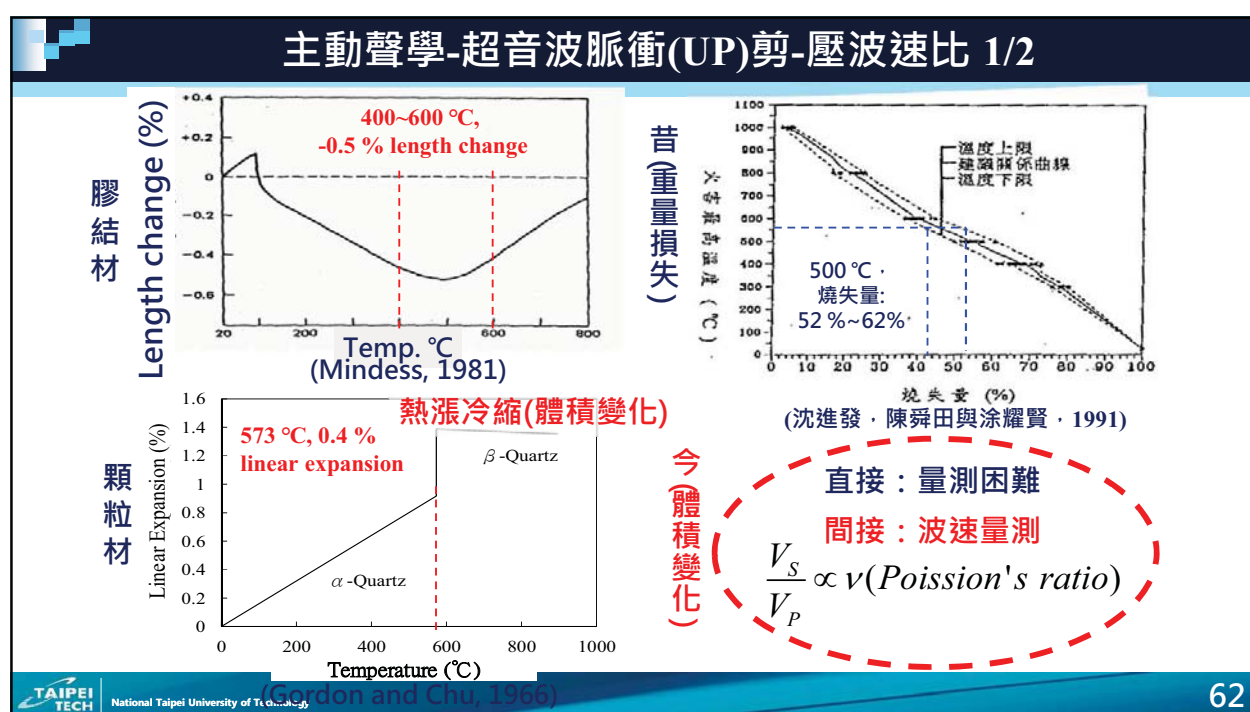
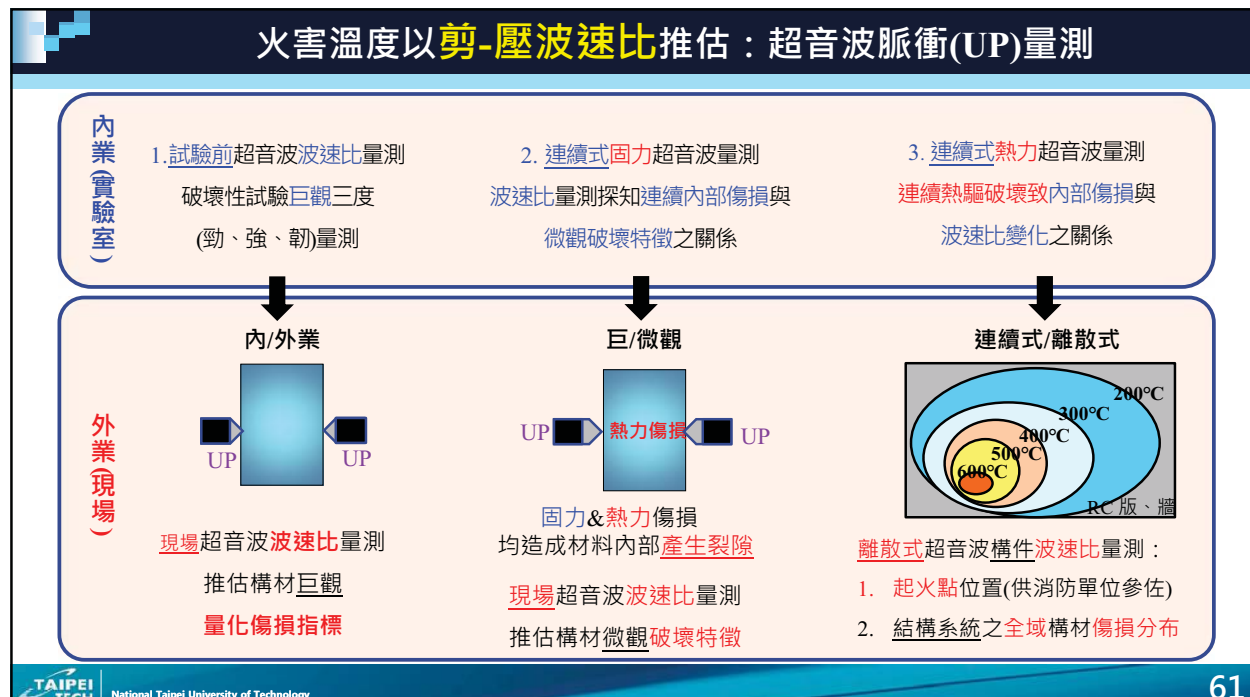


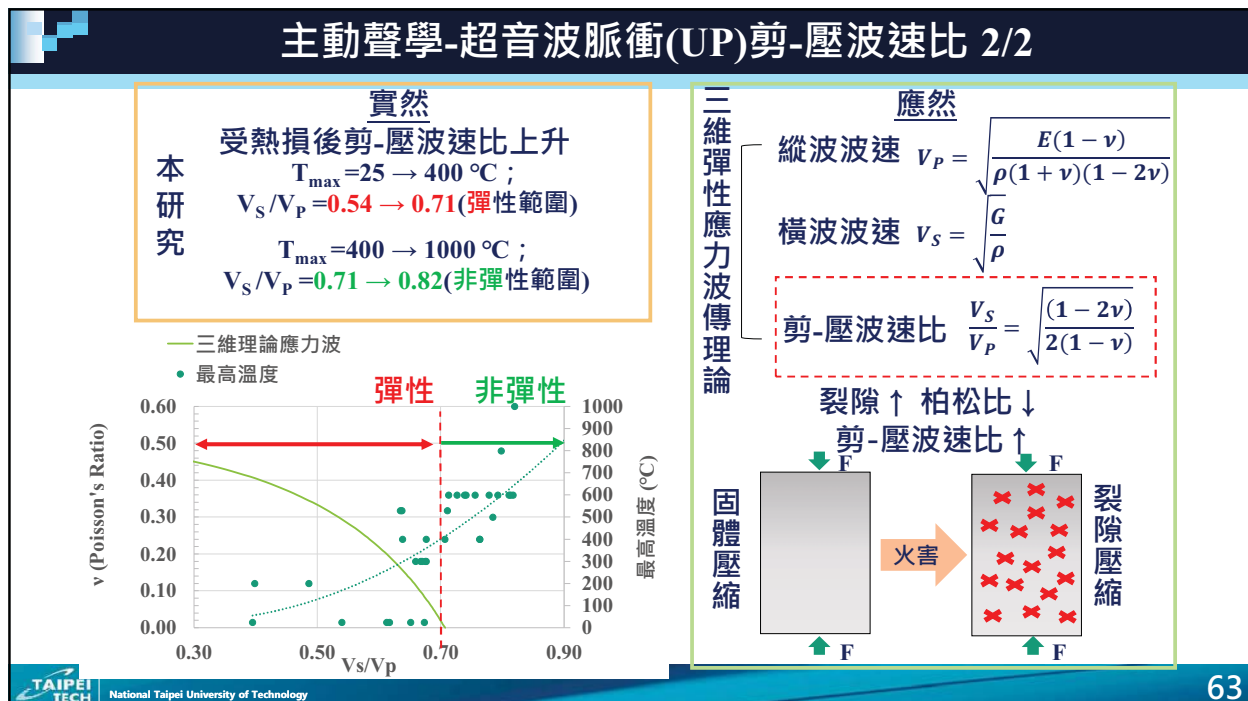


59



60





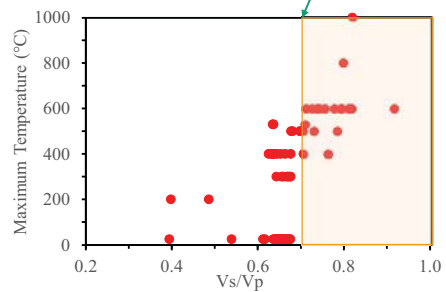
內業(實驗室)直接量測方式之效度驗證(1/2)

根據理論值與文獻資料，試驗結果之界線值整理

彈性 理論解 彈性 理據	unit	彈性變形		非彈性變形 臨界值
		下限值 lower value	上限值 upper value	
v (混凝土)	-	0.15	0.28	NA
Vs/Vp	-	0.55	0.7	> 0.7
T _{max}	°C	25	600	> 600
Δfc'	%	0	40	> 40

v : 柏松比；Vs/Vp : 剪-壓波速比指標；
T_{max} : 火害最高溫度，Δfc' : 強度折減率 (柯志揚, 2016)

- 400 °C，膠結材脫水分解
- 500°C時氫氧化鈣開始產生分解
- 605°C時碳酸鈣開始分解
- 600 °C以上，大於臨界值 0.7**



內業(實驗室)直接量測方式之效度驗證(2/2)

柏松比(v值)與波速之關係 (黃兆龍, 2007, 混凝土性質與行為)

- 理論彈性範圍之柏松比 v = 0.33
- 塑性範圍之柏松比 v = 0.5
- ✓多孔隙一般混凝土 : 0.15-0.2**
- ✓一般高強度混凝土 : 0.2-0.28**
- 關係公式：
 $v = 0.135(f'c)^{0.13}$

式中, f'c 之單位: MPa

- 三維之彈性波傳理論：

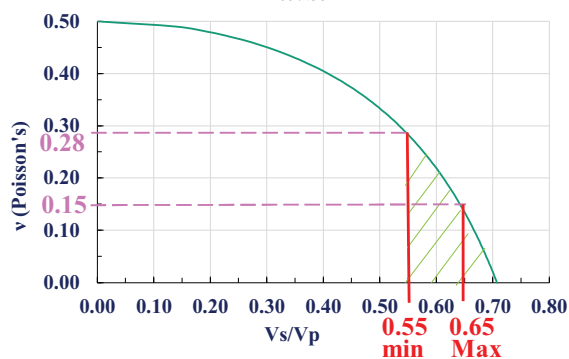
$$\frac{V_s}{V_p} = \sqrt{\frac{1-2v}{2(1-v)}}$$

本試驗

$$f'c = 420 \text{ kgf/cm}^2$$

$$\text{推估} : v = 0.22 \quad \frac{V_s}{V_p} = 0.6$$

理論解



外業(火害現場)間接量測方式之信度驗證

間接量測 vs. 直接量測

點位		B1	B2	B3	平均值
間接量測	V _p (m/s)	2102	2449	2432	2328
	V _s (m/s)	1795	2048	2083	1975
	V _s /V _p	0.85	0.84	0.86	0.85
直接量測	V _p (m/s)	3378	3438	2810	3408
	V _s (m/s)	2973	2910	2558	2942
	V _s /V _p	0.88	0.85	0.91	0.86
信度(%)	97.01	98.76	94.1	96.62	

$\text{信度} = (1 - \frac{(V_s/V_p)_A - (V_s/V_p)_{\text{真}}}{(V_s/V_p)_A}) * 100\%$



表-間接量測

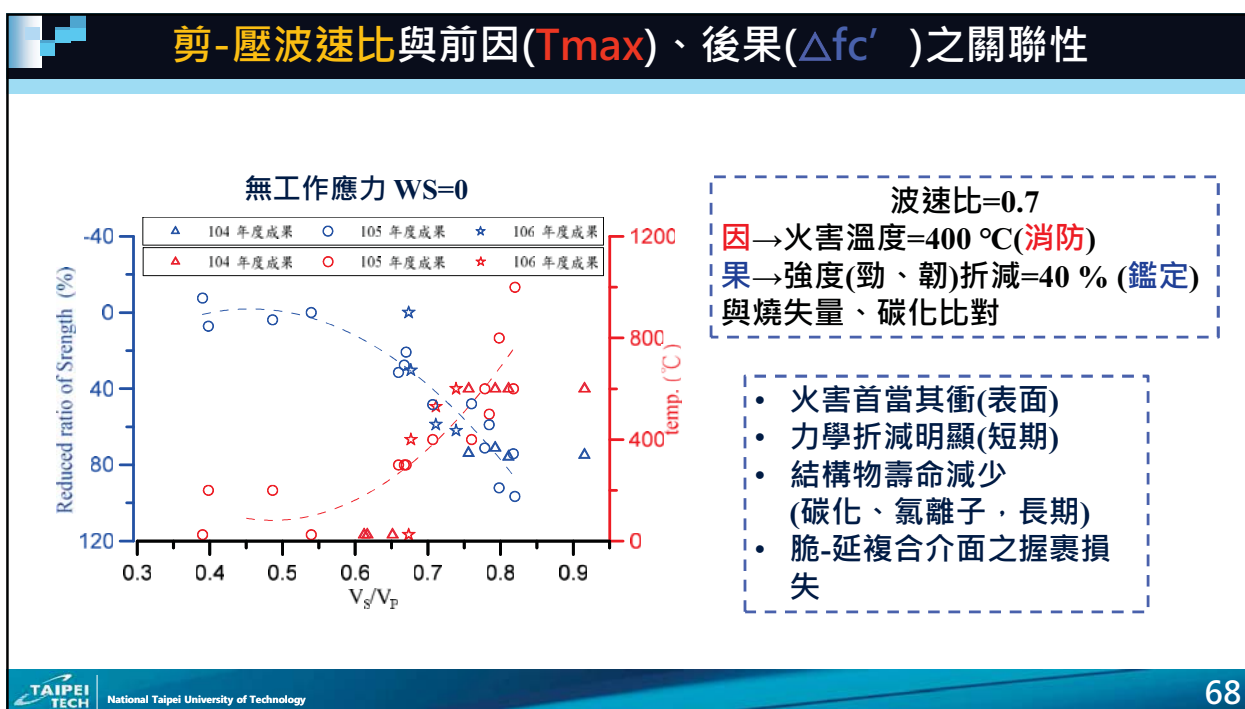


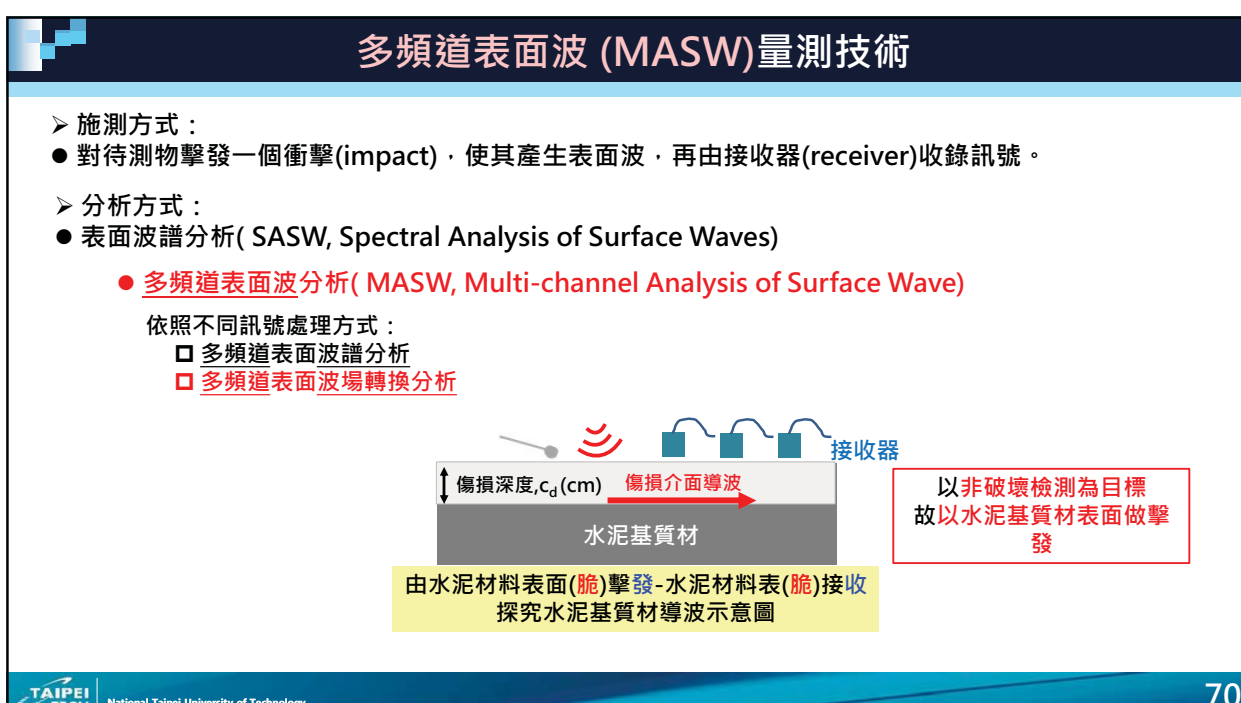
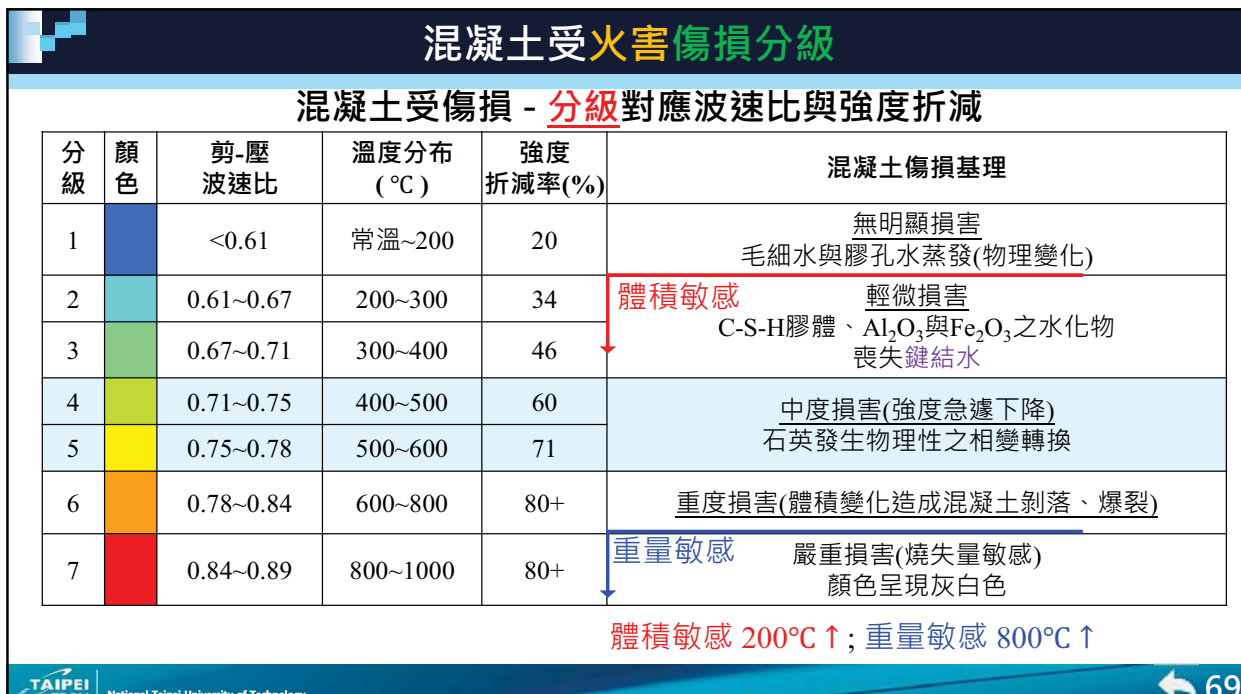
裡-直接量測

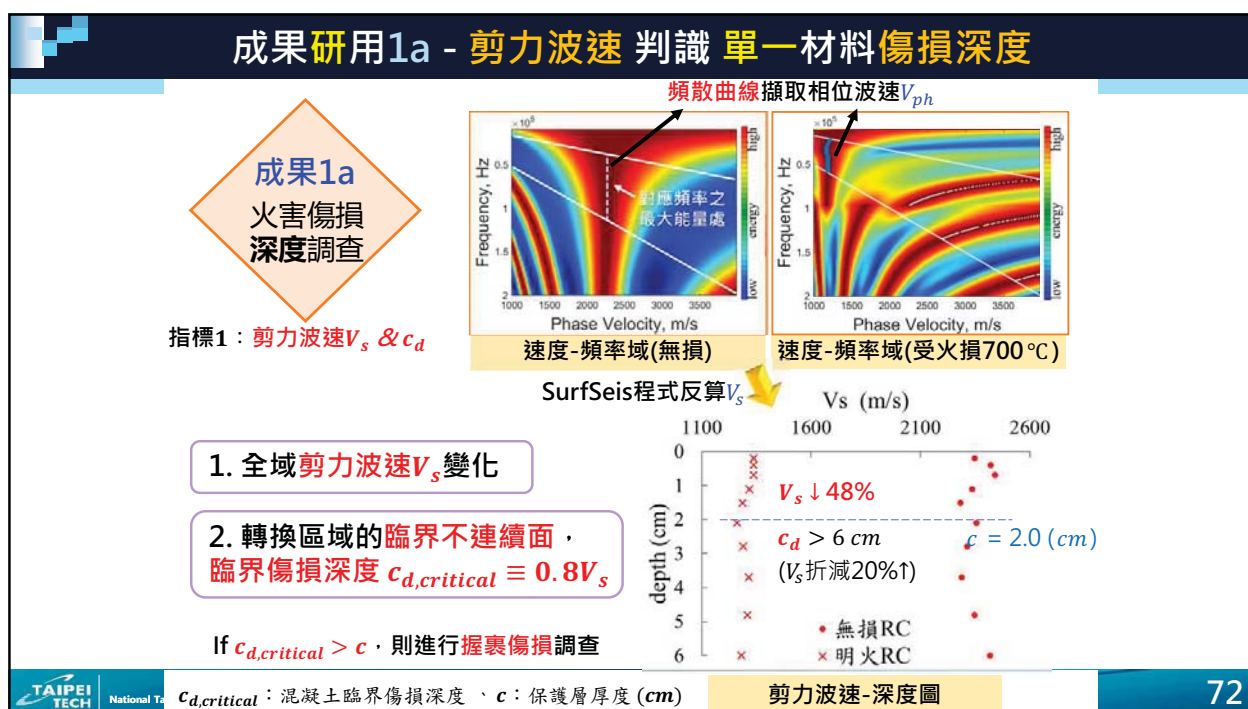
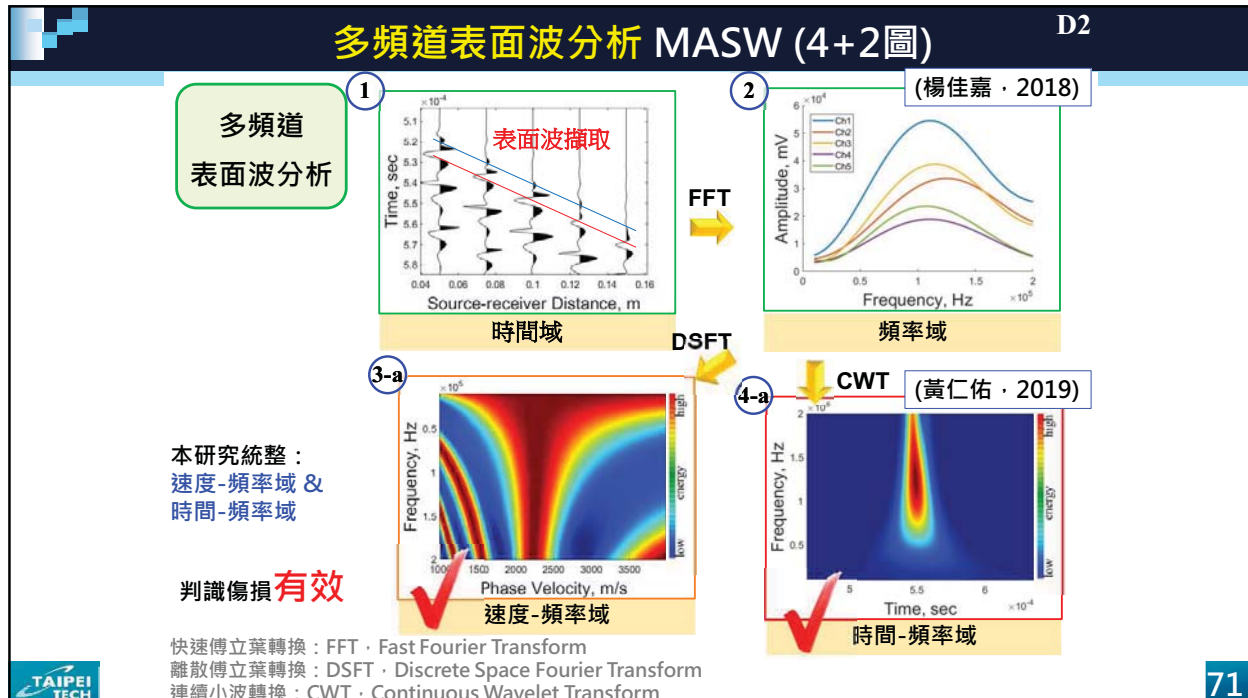


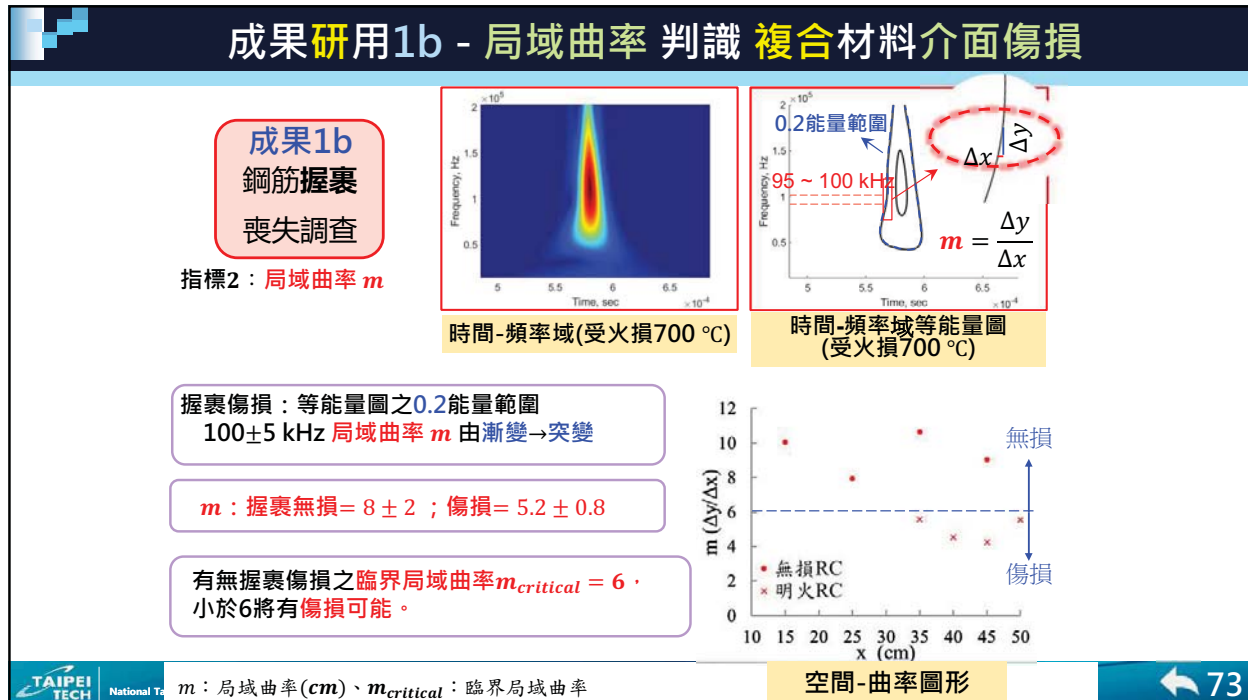
鑽芯試體

67









Part 2 .混凝土火害傷損(含與鋼筋握裹)之檢測驗效與例證

將介紹近年案場實例，舉大者如協同公會調查高雄城中城火害之檢測結果，配合相關儀器設備展示與操作。

外業案場-檢測流程



外業案場-超音波脈衝檢測流程 (上半天)

1 現場環境評估
2 粉刷層
敲除判斷
3 可攜式儀器設置
4 超音波脈衝量測
(UP)

量測區域規劃、跡證蒐
分水嶺
儀器延燒 30 min

TAIPEI TECH | National Taipei University of Technology

外業案場-超音波脈衝分析流程 (下半天)

1 計算剪-壓波速比
2 代入回歸公式
3 繪製
最高溫度等值分佈平面圖
4 與現場跡證對比
5 提供報告

TAIPEI TECH | National Taipei University of Technology



歷年研究實績

編號	項目	年份	結構體	老劣化傷損型態		檔案路徑
				老化(A)/劣化(D)	物/化性	
1	台北市大安區民宅火調	2018	建築	D	物	🔗
2	臺南市隧道火調		隧道	D	物	🔗
3	桃園龜山區工廠火調	2019	建築	D	物	🔗
4	新北市新店區民宅火調		建築	D	物	🔗
5	新北市板橋區民宅火調		建築	D	物	🔗
6	新北市五股區民宅火調	2020	建築	D	物	🔗
7	台南國家地震中心-柱構件之火、震害試驗		建築	D	物	🔗
8	台南國家地震中心-構架屋構件之火、震害試驗		建築	D	物	🔗
9	桃園市台61線橋墩鹽害剝落		橋梁	D	化	🔗
10	高雄市城中城火調	2021	建築	D	物	🔗
11	台北市社宅冷縫判識		建築	D	化	🔗
12	新北市板橋區民宅火調	2022	建築	D	物	🔗
13	花蓮縣玉興橋震害檢測		橋梁	D	物	🔗

TAIPEI TECH | National Taipei University of Technology

台北市大安區民宅火調

1.地點：台北市大安區
 2.時間：2018
 3.案場狀況：建物為頂樓加蓋，僅有部分為RC結構

▲ 剪-壓波速比與火源距離呈負相關趨勢

現場圖

▲ 現場火源位置圖

TAIPEI TECH | National Taipei University of Technology

7

台南隧道火調- 隧道斷面 0k+184 - 延燒處

點位 3
6 (0.81)

點位 4
6 (0.82)

點位 2
6 (0.83)

點位 5
6 (0.82)

點位 6
3 (0.68)

點位 1
6 (0.82)

平面及縱面熱壓控制點

防水層

隧道斷面圖往出口方向

點位 分級 ($\frac{V_s}{V_p}$) 嚴重程度(點位) : 2 > 5 > 4 > 1 > 3 > 6

分級 1000
800
600
500
400
300
200
常溫
溫度 (°C)
受火害
分級-溫度圖

距熱源 : 736 m

無抗磨層、有研磨 : 1 ~ 6

TAIPEI TECH | National Taipei University of Technology

8

桃園龜山區工廠火調

1.地點：桃園市龜山區

2.時間：2019

3.案場狀況：建物為RC結構，現場延燒情況嚴重
·多處之保護層已完全破壞

◀ 剪-壓波速比與、強度折減率與溫度分布圖

← 9

TAIPEI TECH | National Taipei University of Technology

新北市新店區民宅火調

④
④ 0.78 (587)

受火損較嚴重區域：

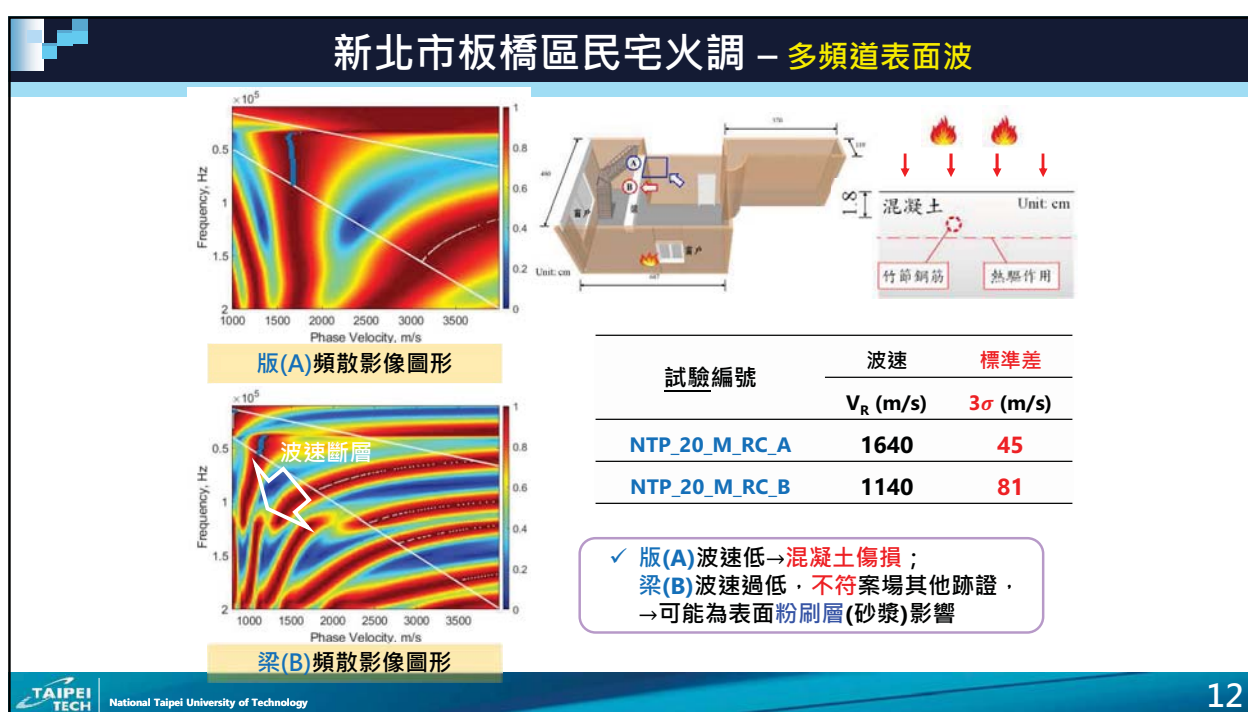
區域最嚴重點位
 V_s/V_p (T_{max} (°C), $\Delta f'_c$ (%))

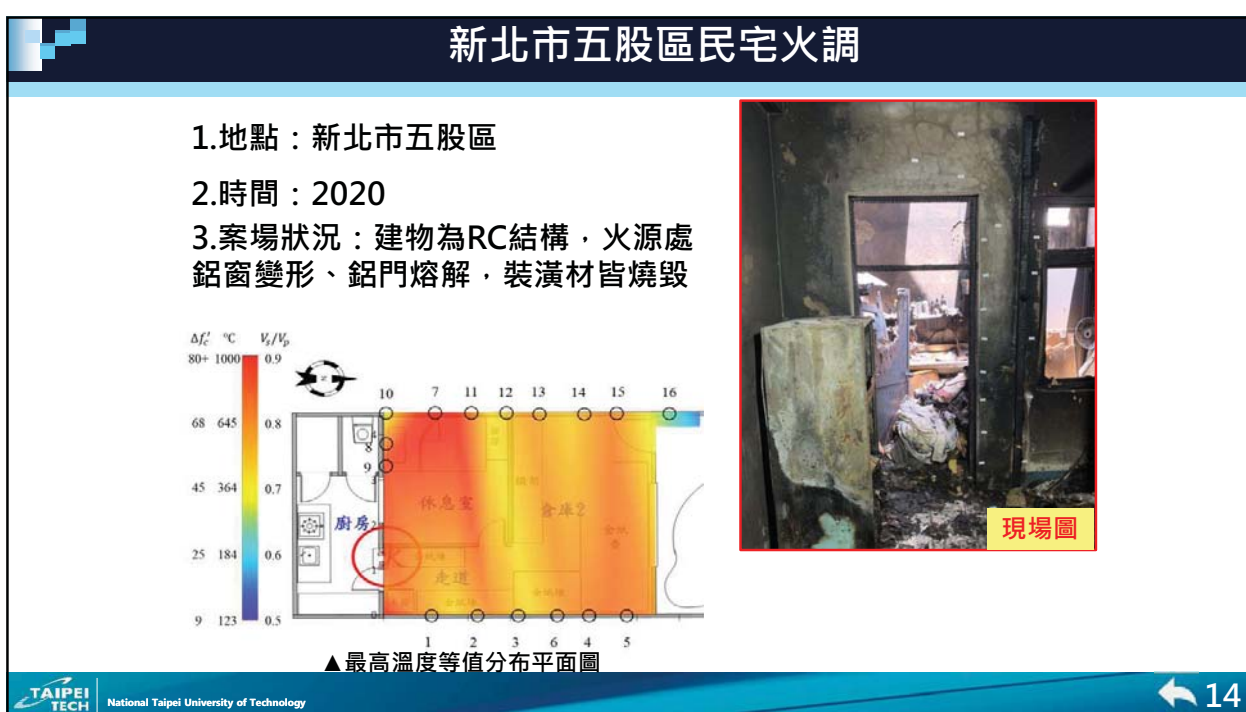
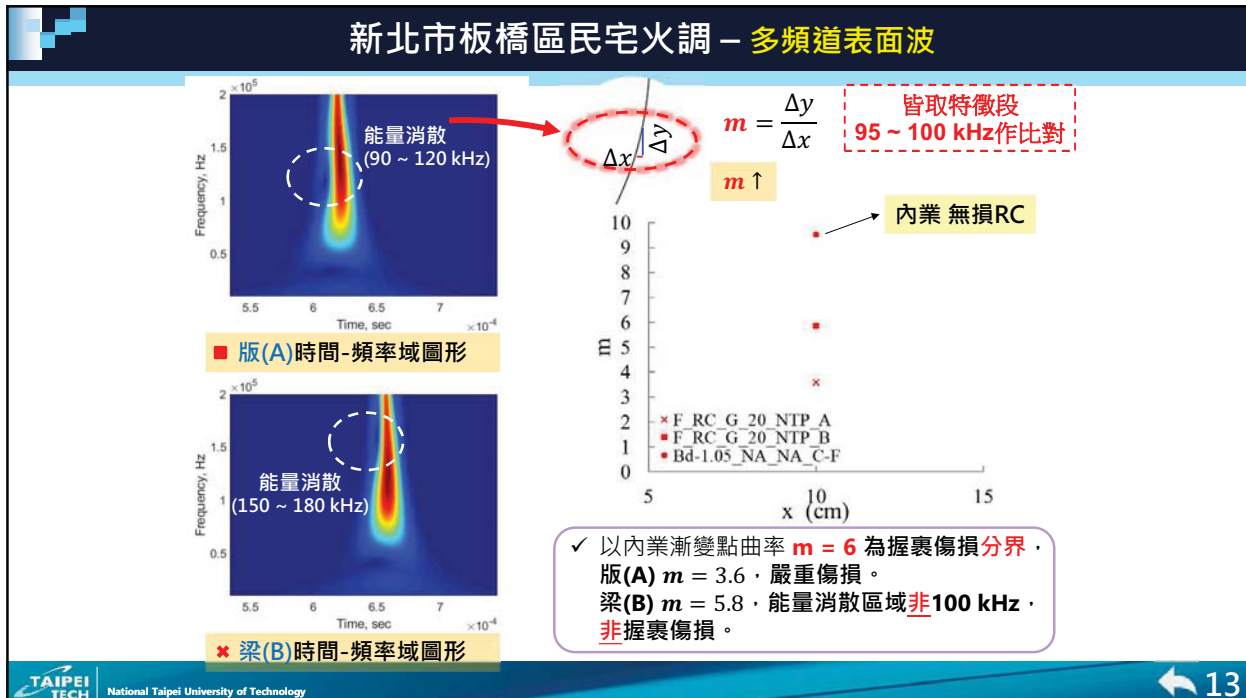
區域一 受燃料控制(雜物間)

區域二、三 受通風控制(窗戶、開口)

← 10

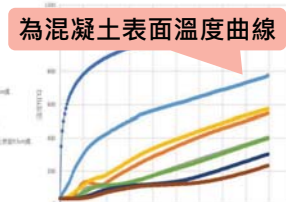
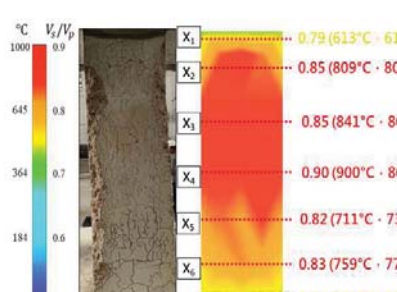
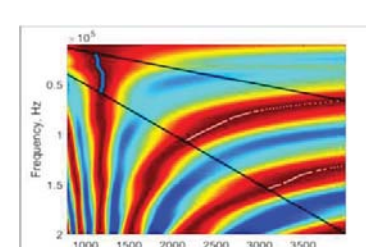
TAIPEI TECH | National Taipei University of Technology





台南國家地震中心-柱構件之火、震害試驗

1.地點：臺南國家地震中心
 2.時間：2020
 3.案場狀況：為模擬構件受火害之情形，推估之最高溫度為711°C~900 °C與熱電偶線表面擷取資訊800°C相符。

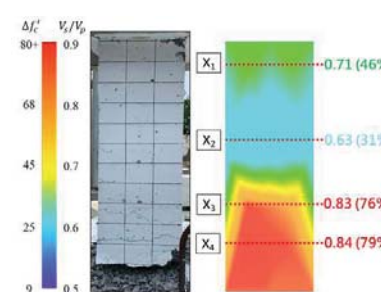
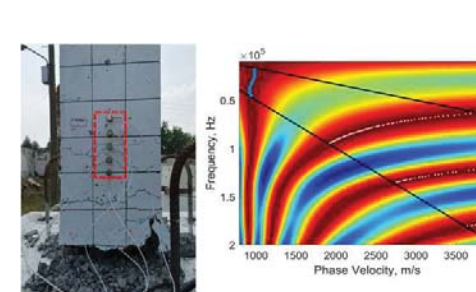
▲火害柱構件速度-頻率域影像圖

TAIPEI TECH | National Taipei University of Technology

◀ 15

台南國家地震中心-柱構件之火、震害試驗

1.地點：臺南國家地震中心
 2.時間：2020
 3.案場狀況：構件受震害後破壞集中於底部(塑鉸區)，中間較輕微。底部推估之強度折減率76%~79%，中間推估強度折減率為31%~46%與外觀判識相符。

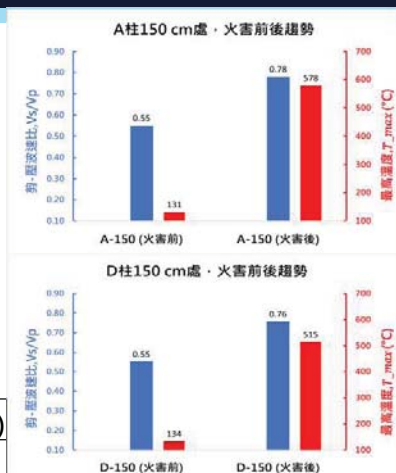



▲震害柱構件強度折減立面圖
 ▲震害柱構件量測點位圖及速度-頻率域影像圖

TAIPEI TECH | National Taipei University of Technology

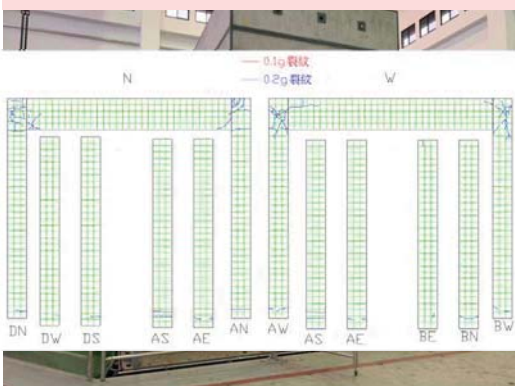
◀ 16

台南國家地震中心-構架屋構件之火、震害試驗



推估值與實際值相近

台南國家地震中心-構架屋構件之火、震害試驗



構架屋北面-裂縫紀錄

**非破壞檢測
可有效量化目視結果**

